

18121

T.C.
İstanbul Üniversitesi
Sağlık Bilimleri Enstitüsü
Biokimya Anabilim Dalı
Danışman: Prof.Dr.Nevzat Baban

**ÇÖZÜNÜR ELASTİN TÜREVİNİN
İN VİTRO NONENZİMATİK GLİKOZİLLENME
ÖZELLİĞİ**

DOKTORA TEZİ

T. G.
Yükseköğretim Kurulu
Dokümantasyon Merkezi

Biokimya Uzm.Hüseyin Sönmez

İstanbul - 1990

TEŞEKKÜR

Cerrahpaşa Tıp Fakültesi Biokimya Anabilim Dalı'nda göreve başlamamdan itibaren gerek uzmanlık gerekse doktora eğitimim süresince yetişmemde sonsuz emeği olan değerli Hocam Anabilim Dalı Başkanı Sayın Prof.Dr.Nevzat Baban'a,

Çok değerli bilgi ve deneyimlerinden her zaman yararlanma olanağını bana sağlayan ve daimi desteğini benden esirgemeyen Hocam Prof.Dr. Emine Kökoğlu'na,

Her konuda yakın ilgi ve alakalarını gördüğüm çok değerli hocalarım Porf.Dr.Tülay Akçay'a, Prof.Dr.Güler Candan'a, Doç.Dr.Safiye Dondurmacı'ya ve Prof.Dr.Ahmet Araz'a,

Tez çalışmam esnasında imkanlarından yararlanma iznini veren Türkiye Bilimsel Tetkik ve Araştırma Kurumu Beslenme ve Gıda Bölümü Başkanlığına,

Aynı bölümde görevli değerli bilim adamı Doç.Dr.sinan Ömeroğlu'na,

En içten teşekkürlerimi sunmayı bir borç saymaktayım.

İÇİNDEKİLER

| | <u>Sayfa</u> |
|---|--------------|
| I. GİRİŞ VE AMAÇ | 1 |
| II. GENEL BİLGİLER | 3 |
| 1. ELASTİN | 3 |
| 1.1. Genel Bakış | 3 |
| 1.2. Elastinin Yapısı ve Biyosentezi | 4 |
| 1.2.1. Elastinin Karşılaştırmalı Amino Asid Bileşimi ve Filogenetik Dağılımı | 5 |
| 1.2.2. Elastinin Primer Yapısı | 6 |
| 1.2.3. Elastinde Çapraz Bağlantı | 11 |
| 1.2.4. Elastin Geninin Yapısı | 14 |
| 1.2.5. Elastin Biyosentezi | 15 |
| 1.2.6. Elastin Yıkılımı | 17 |
| 2. PROTEİNLERİN GLİKOZİLLENMESİ | 18 |
| III. GEREÇ VE YÖNTEMLER | 27 |
| 1. GEREÇLER | 27 |
| 1.1. Materyal | 27 |
| 1.2. Kimyasal Maddeler | 27 |
| 1.3. Aletler | 28 |
| 1.4. Çözeltiler | 28 |
| 2. YÖNTEMLER | 30 |
| 2.1. Elastin Eldesi | 20 |
| 2.2. Çözünür Elastin Türevinin Eldesi | 31 |
| 2.3. Selüloz Asetat Elektroforez Yöntemi | 32 |
| 2.4. Amino Asid Analiz Yöntemi | 33 |
| 2.5. Çözünür Elastin Türevinin In Vitro Nonenzimatik Glikozillendirilme Yöntemi | 33 |
| 2.6. Lowry Yöntemi İle Protein Tayini | 35 |
| IV. BULGULAR | 37 |
| 1. Elastin ve Çözünür Elastin Türevine Ait Genel Bulgular | 37 |
| 2. Çözünür Elastin Türevinin Selüloz Asetat Elektroforez Bulgusu | 40 |
| 3. Çözünür Elastin Türevinin Amino Asid Bulgusu | 41 |
| 4. Çözünür Elastin Türevinin In Vitro Nonenzimatik Glikozilenme Bulguları | 43 |

| | <u>Sayfa</u> |
|----------------------|--------------|
| V. İRDELEME VE SONUÇ | 53 |
| VI. ÖZET | 58 |
| VII. SUMMARY | 60 |
| VIII. KAYNAKLAR | 62 |
| IX. ÖZGEÇMİŞ | 74 |

1. GİRİŞ VE AMAÇ

Proteinlerin özel enzimler (glikozil transferaz) aracılığı ya da enzim aracılığı olmaksızın (nonenzimatik) karbohidrat moleküllerini bağlama glikozillenme (glikozilasyon) olarak adlandırılır.

Nonenzimatik glikozillenme, proteinlerin N-terminal amino ve lizin aminoasitlerine ait Σ -amino grubuna şeker kalıntılarının (glukoz, galaktoz, mannoz, fukoz, fruktoz, riboz, sialik asidler) fosforillenmiş şekillerinin serbest karbonil grupları ile bağlanmasıdır. Proteinlerin non enzimatik glikozillenmesi onların yapı ve fonksiyonlarında çeşitli değişikliklere yol açması bakımından oldukça önem taşıyan bir reaksiyondur. Bu nedenle organizmanın çeşitli proteinlerinde nonenzimatik glikozillenme olayı, gerek *in vivo* gerekse *in vitro* olarak araştırılmıştır. Bu proteinler Tablo 4'de gösterilmiştir.

Kollajen ile birlikte bağ dokusunun major proteinlerinden olan elastin organizmada özellikle ligamanlarda ve büyük arter çeperlerinde yüksek oranda bulunur. Bir skleroprotein olarak suda çözünmez; çeşitli proteazlara asid ve alkalilere karşı dirençlidir.

Elastin uzun yillardan beri bir çok araştırmacının ilgisini çekmiş, yapısı ve fonksiyonları üzerinde çeşitli çalışmalar yayınlanmıştır. Son yıllarda özellikle ateroskleroz olmak üzere bir çok hastalıkla olan ilişkisi inceleme konusu olmuştur.

Yine proteinlerin nonenzimatik glikozillenmesi günümüzde gerek diabet gerekse ileri yaşıarda görülen çeşitli metabolik bozuklıkların önemli bir etkeni olarak görülmektedir.

Bu çalışmamızda elastinden kısmi hidroliz ile elde ettiğimiz çözünür elastin türevinin in vitro nonenzimatik glikozillenme özelliğini inceleyerek yukarıda kısaca bahsettiğimiz araştırmalara bir katkıda bulunmayı amaçladık.

Elde ettiğimiz bulguları sunmadan önce konu ile ilgili bazı genel bilgileri vermeyi uygun gördük.

II. GENEL BİLGİLER

1. ELASTİN

1.1. GENEL BAKIŞ

Omurgalı vücutunun çeşitli hareket fonksiyonlarında uzayıp, bükülebilmesi için içerisinde esneyebilir materyallere aşikar olarak ihtiyacı vardır. Bu nedenle omurgalıların vücutu elastik özelliğe sahip çeşitli dokular ihtiyaca eder. Dokuların bu özelliklerini ekstrasellüler matriksde büyük oranda elastik lifler içermelerinden ileri gelir. Elastik lifler kantitatif olarak ufak miktarlarda olmalarına karşın deri, büyük arterler, akciğer parankiması ve bazı özelleşmiş ligamentlerde olduğu gibi bir kısım dokuda total ağırlığın önemli bir kısmını teşkil eder. İşık mikroskopunda elastik lifler yüksek oranda ışık kırıcı özelliğe sahiptir ve karakteristik boyama reaksiyonları ile teşhis edilebilirler. Bunların arasında orsin, rezorsin-fuksin, hematoksilin, anilin ya da diğer multikomponent boyalar sayılabilir. Bu boyalar elastik lifler için nispeten spesifik olmalarına karşın ultrastrüktürel analizler için belirli bir ayırım meydana getirmez. Elastik liflerin elektronmikroskopu ile yapılan incelemeleri morfolojik olarak ayırd edilebilen iki komponentten olduğunu göstermiştir. Bunlar amorf komponent ve mikrofibriler komponenttir. Amorf komponent düzenli olarak tekrarlayan birimlerden oluşmuş bir yapı göstermez, olgunlaşmış liflerin % 90'ından daha fazla bir kısmını oluşturan mikrofibriler komponent ise ortalama 10-12 nm boyunda küçük liflerden ibarettir. Amorf komponentin periferin-

de lokalize olmuştur.

Elastin adı yukarıda kısaca özellikleri belirtilen yapının amorf komponentini oluşturan ve elastik özelliklerden sorumlu olan protein için kullanılır(20,29,42,44,76,100).

1.2. ELASTİNİN YAPISI VE BİOSENTEZİ

Elastin organizmada kollajen ile birlikte bağ dokusunun major proteinidir. Kollajenin beyaz bağ dokusunun ana proteini olmasına karşın elastin sarı bağ dokusunda hakim proteindir. Böylece kollajen Achilles tendonunda elastinden 20 kere daha fazla bulunurken, sarı ligamentum nuchae da elastin kollajenden 5 kez daha fazladır(100).

Elastin saf halde iken soluk sarı renktedir ve ultraviyole ışıkta mavimsi bir fluoresans gösterir.

Kollajen gibi mezenkimal kaynaklı bir proteindir. Fakat suda kaynatmak ile jelatin gibi suda çözünebilen bir şeke dönüşmez. Tripsin ve kimotripsin gibi proteazlara, ayrıca asid ve alkalilere karşı dirençlidir. Ancak elastaz adlı özel bir pankreas enzimi ile sindirilebilir. Pepsinin ise pH:1.2 de elastazın 1/8'i oranında elastoliz etkisi olduğu saptanmıştır(3).

Elastinin yapısının aydınlatılması ile ilgili çalışmalar oldukça eski tarihlere kadar uzanır. Bu ilk çalışmaların birinde 1902'de Richard ve Gies yayınladıkları bir raporda elastinin kaynar suya ve alkali etkisine karşı dirençli olduğunu ileri sürdüler(71). Bu araştırmacılar ayrıca elastin peptidlerinin ısıtıldıkları zaman agregatlar oluşturduklarını ve bunun elastinin içermiş olduğu yüksek orandaki non polar amino asidlerden kaynaklandığını belirttiler. Daha ilerki yıllarda yapılan bir araştırmada Lloyd ve Garrod elastin ve kauçuk arasında yapısal benzerlikler olduğunu ileri sürdüler(55).

Elastinin dokulardan izolasyonunda ilk olarak kullanılmaya baş-

lanan metodlar nispeten çok fazla spesifik olmayan ekstraksiyon yöntemlidir. Lansing ve arkadaşları bu şekilde aortik dokudan sıcak alkali muamelesi yolu ile saf elastin elde ederek özelliklerini belirttiler(54). Bu tür ekstraksiyon işlemleri elastini büyük miktarlarda içeren ligamentum nuchae ve büyük arterler gibi dokularda oldukça tatmin edici sonuçlar vermektedir ve hazırlanan preparatların elektron mikroskopu incelemeleri ile amino asid kompozisyonları bu görünüşü doğrulamaktadır(76). Buna karşılık fetal akciğer parenkimi gibi elastin miktarının az olduğu dokularda bu metodlar çok iyi sonuç vermemektedir. Elastinin bu gibi dokulardan kuvvetli ekstraksiyon işlemleri ile izolasyonu ise peptid bağlarında parçalanma, çapraz bağlı amino asitlerde değişiklik, mikrofibriler komponentte harabiyet gibi olaylara yol açmaktadır. Bunu önlemek amacıyla daha ılımlı metodlar geliştirilmiştir. Bu tür yöntemlerden biri dokuların 5M guanidin ile ekstraksiyonudur. Bu işlem ile çözünür kollajen, glikoproteinler ve proteoglikanlar ortamdan uzaklaştırılır; kollajenaz ile de geri kalan çözünür olmayan kollajen kontaminasyonu önlenir(75). Bu şekilde hazırlanan preparatların elektron mikroskopu incelemeleri, preparatların mikrofibriler komponent ve elastik fibrillerden olduğu, buna karşılık kollajen ve diğer proteinleri içermediğini göstermiştir. Merkaptoetanol içeren 5 M guanidin ile yapılan ikinci bir ekstraksiyon işlemi çözünmeyen elastin kalıntısının periferindeki mikrofibrilleri çözünürleştirir. Bu çözünür fraksiyonun glikoprotein yapısında olduğu, ayrıca asidik ve diğer hidrofilik amino asitlerce zenginlik gösterdiği anlaşılmıştır(72,75,85).

1.2.1. Elastinin Karşılaştırmalı Amino Asid Bileşimi ve Filogenetik Dağılımı

Memelilerin aortalarından ya da ligamentum nuchae'lerinden izole edilen örneklerde yapılan çalışmalara göre elastindeki amino asitlerin yaklaşık olarak % 33'ü glisinidir. Geriye kalan miktarın % 10-13'ü prolin, % 40 kadarı hidrofobik yan zincirli amino asitler, ayrıca çok küçük bir miktarı da hidrofilik amino asitlerdir.

Elastin polifonksiyonel amino asitler olan ve çapraz bağların yapımında görev yapan desmozin, izodesmozin, merodesmozin, lizinilnor-

lösün gibi ender rastlanan bazı amino asidleri de içerir. Yapılan çalışmalar aynı türlerin farklı dokularından hazırlanan elastinlerin çok benzer amino asid kompozisyonuna sahip olduğunu göstermiştir. Yalnız elastik kıkırdak dokusu bu benzerliğin dışında kalmaktadır. Bu farklılığın nedeni kıkırdak elastinini oluşturan polipeptid zincirinin ayrı bir gen tarafından kodlanması veya kıkırdakdaki diğer proteinlerin kontaminasyonu olabilir. Bu doku daha ileri araştırmaları gerektirmektedir(76).

Tüm omurgalılarda ve bir kısım omurgasızlarda elastinin amino asid kompozisyonu geniş olarak incelenmiş ve Agnatha türü hariç omurgalıların hepsinde elastin saptanmıştır. Bu amino asid kompozisyonunun genelde benzer özelliklere sahip olduğu anlaşılmıştır(41,76). Tümü hidrofobik amino asidlerce zengin, hidrofilik amino asidlerce ise fakir bir bileşim göstermektedir. Tablo 1'de bu dağılım gösterilmiştir.

Evolüsyon sırasında elastinin amino asid kompozisyonundaki değişiklikler göz önüne alındığında ilk elastinin siklostom ve grathosom'un ayrılımasından sonraki bir zamanda ortaya çıktığı anlaşılmaktadır. Ekolojik zaman ile hidrofobik amino asit düzeyinde tedrici bir ilerleme görülmektedir. Hidrofobik kalıntılardaki bu artış eğilimi sistolik kan basıncındaki paralel değişimler ile ilişkili olabilir. Kan basıncı amfibi ve balıklardaki 30 mm civar basıncından memeli ve kuşlarda 120-150 mm civar basıncına yükselmiştir. Omurgasızlarda abduktin(48,95), oktopus elastomer(87) gibi diğer elastiki proteinler de bulunmuştur; fakat bu proteinlerin elastin ile ilgileri yoktur. Karakteristik desmozin çapraz bağları ihtiva etmezler ve amino asid kompozisyonları farklıdır.

1.2.2. Elastinin Primer Yapısı

Elastinin yapısı üzerindeki kimyasal çalışmalar çözünür olmaması ve çapraz bağlar içermesi nedeni ile hayli zor ve yavaş olmuştur.

İlk olarak Emil Fisher ve çalışma arkadaşları, sığır lugamentum nuchaeinin elastininde Ala-Leu ve Leu-Ala dipeptidlerini saptadılar.

Tablo 1
Çeşitli Türlerin Aorta Elastini'nin Amino Asid Bileşimi(76)*

| Amino Asid | Domuz | Köpek | İnsan | Piliç | Kaplumbaga | Ton Balığı |
|-------------|-------|-------|-------|-------|------------|------------|
| Lizin | 5,2 | 5,2 | 4 | 2 | 6,8 | 15 |
| Histidin | 1,0 | 1,9 | 0,5 | 0,7 | 3,6 | 2,6 |
| Arginin | 7,9 | 9,1 | 9 | 5 | 7,6 | 16 |
| Treonin | 15 | 24 | 12 | 9 | 18 | 63 |
| Serin | 12 | 16 | 8 | 6 | 11 | 34 |
| Prolin | 113 | 107 | 131 | 131 | 130 | 101 |
| Glisin | 313 | 314 | 295 | 338 | 319 | 391 |
| Alanin | 244 | 249 | 233 | 179 | 184 | 103 |
| Valin | 128 | 99 | 143 | 173 | 151 | 64 |
| İzolösin | 18 | 28 | 23 | 20 | 17 | 19 |
| Lösin | 54 | 46 | 58 | 56 | 58 | 45 |
| Tirozin | 19 | 29 | 23 | 13 | 34 | 37 |
| Fenilalanin | 33 | 25 | 22 | 19 | 13 | 28 |
| Sistein | <1 | 2,3 | | <0,9 | <1 | |
| Metyyonin | <1 | 2,1 | | 2,0 | 7,1 | |
| İzodesmozin | 1,9 | 1,8 | 2,2 | 1,2 | 1,5 | 0,3 |
| Desmozin | 1,3 | 1,3 | 2,8 | 1,4 | 1,2 | 0,3 |

*Kالıntı/1000

1960'larda diğer bazı dipeptid sıralanmalarının varlığı (Val-Val, Leu-Val, Val-Pro) bulundu; fakat daha uzun amino asid diziliş sıraları tayin edilemedi. Bu tarihlerde elde edilen en önemli başarı Partrige, Thomas ve arkadaşları tarafından desmozin çapraz bağlarının yapısının açıklanması oldu(64,65,66,97).

Anwar elastin hidrolizatlarındaki peptid karışımından desmozin içeren peptidleri saflaştırarak, bunları ion-değiştirme kromatografisi ile fraksiyonladı ve amino asid dizi tayini yaptı(1). Aşağıda bu diziler görülmektedir.

| Domuz aorta | Sığır aorta | İnsan aorta |
|-----------------------------|-------------------------|---------------------|
| Tyr-Gly-Ala-Pro-Gly-Ala-Gly | Phe-Gly-Ala-Ala | Tyr-Gly-Ala-Ala |
| Ala-Pro-Gly-Gly-Gly-Ala | Ala-Gly-Tyr-Pro-Thr | Ala-Gly-Tyr-Pro-Thr |
| Leu-Gly-Ala-Ala | Leu-Gly-Ala-Gly-Gly-Ala | Phe-Gly-Ala-Gly |

Analizlerde tirozinin genellikle çapraz bağların karboksil tarafında yer aldığı saptanmıştır. Diğer diziler çoğu kez alanin ile ve bazı zamanlarda lösin ve izolösin ile başlamaktadır.

Elastinin yapısının aydınlatılması ile ilgili çalışmalar sırasında bakır içermeyen diyetle beslenen hayvanlarda aorta anevrizması ve diğer defektler ile elastin liflerinin amorf komponentlerinin miktarında azalma olduğu tespit edildi.

Bu bulguların ışığı altında Smith ve arkadaşları bakır eksikliği olan domuzların aortalarından bir çözünür polipeptid izole ettiler(91). Bu çözünür protein tropoelastin olarak adlandırıldı. Sandberg ve arkadaşları tarafından tropoelastin (çözünür elastin) amino asid kompozisyonunun, çapraz bağları oluşturan amino asidlerin yokluğu dışında, çözünür olmayan normal elastin ile aynı olduğu gösterildi(81). Tropoelastinde total lizin kalıntıları normal elastine oranla daha fazladır. Bu oran tropoelastinde 38 kalıntı/mol iken, normal elastinde 6 kalıntı/mol'dür. Tropoelastin molekülünün amino asid kompozisyonunun farklı türlerde benzerlik gösterdiği saptanmıştır(95,101). Tropoelastin molekülünün amino asit bileşimi Tablo 2'de gösterilmiştir.

Tablo 2
Domuz Trapoelastini'nin Amion Asit Bileşimi(79)

| Amino Asid | Kalıntı/800 |
|-------------------|-------------|
| Glisin | 245 |
| Alanin | 187 |
| Prolin | 91 |
| Valin | 103 |
| İzolösin | 14 |
| Lösin | 41 |
| Tirozin | 14 |
| Fenilalanin | 24 |
| Arjinin | 4 |
| Lizin | 34 |
| Aspartikasid | 3 |
| Treonin | 10 |
| Serin | 8 |
| Glutamik asid | 12 |
| Metionin, sistein | 0-1 |
| Histidin | |
| Hidroksiprolin | 7 |

Yapılan çeşitli incelemelerde tropoelastin için saptanan mol ağırlığı yaklaşık 72.000'dir(82,90).

Domuz tropoelastini tripsin ile parçalanarak, ortaya çıkan peptidler ion değiştirme kromatografisinden geçirilmiş ve bu saflaştırılan peptidlerde amino asid dizi tayini yapılmıştır. Elde edilen diziler Tablo 3'de gösterilmiştir(31,80).

Tablo 3
Domuz Tropoelastininde Amino Asid Dizi Örnekleri(76)

| Tekrarlanan Üniteler | <u>Büyük Triptik hidrofobik peptidler</u> |
|-------------------------|--|
| Tripeptid | <u>YVAGVPGVGVP</u> <u>GIGGVP</u> <u>GVP</u> <u>GVP</u> <u>GVP</u> <u>GVP</u> <u>GVP</u> <u>GVP</u> <u>GVP</u> <u>GVP</u> <u>GVP</u> <u>GVP</u> <u>GVP</u> <u>GVV</u> <u>GGVG</u> <u>PVG</u> V AA AA AAA |
| Tetrapeptid | <u>GGVP</u> <u>GAVP</u> <u>GGVP</u> <u>GGVPGGVFF</u> PGAGLGLL |
| Pentapeptid | <u>YGAAGGLVPGAPGFGPG</u> <u>VG</u> <u>VP</u> <u>GVGV</u> <u>PGVGV</u> <u>PGVG</u> <u>VP</u> <u>GVGV</u> |
| Hexapeptid | <u>AAQFGZFPGI</u> <u>GVA</u> <u>PGI GVA</u> |

Alanince Zengin Ufak Triptik Peptidler

| Dizi | mol/mol tropvelastin |
|------|----------------------|
| AAAK | 6 |
| AAK | 6 |
| SAK | 2 |
| APGK | 1 |
| AK | 2 |
| YGAK | |

A:Alanin, F:Fenilalanin, G:Glisin, K:Lizin, P:Prolin, G:Glutamin, S:Serin, T:Treonin, V:Valin, Y:Tirozin, I:Izolösin.

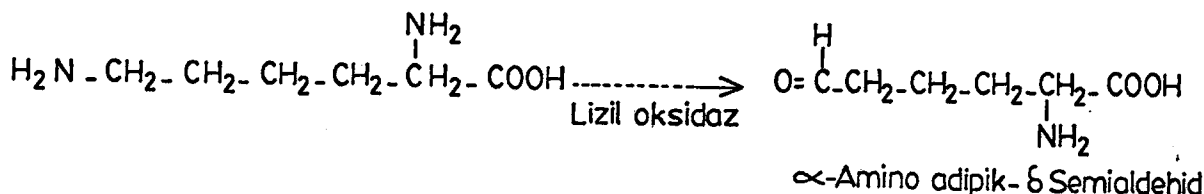
Kromatografi yolu ile iki sınıf triptik peptid elde edilmiştir. Bunlar büyük ve küçük peptidlerdir. Küçük olanlar arjinin, büyük olanlar ise hidrofobik amino asitlerce zengindir. Büyük peptidlerdeki amino asidlerin elastik özelliklerden sorumlu bölgelerden türedikleri anlaşılmaktadır.

Ufak peptidler arasında önemli yer tutanlar her tropoelastin molekülünde 6'şar kere tekrar edilen Ala-Ala-Ala-Lys ve Ala-Ala-Lys dizi-leridir. Büyük peptidler içerisinde küçük peptid dizileri sınırlı olarak tekrar edilebilir. Bu gibi tekrarlayan diziler molekülün bazı kısımlarında elastine has bir sekonder helezon yapının varlığı ihtimalini artırmaktadır(98). Ancak bugüne kadar elde edilen pek çok bulgu elastinin genellikle düzenli olmayan gelişigüzel bir yapı içerdiğini ortaya koymaktadır. Büyük peptidlerden elde edilen amino asid dizileri, elastinde glisinin amino asid kalıntılarının yaklaşık 1/3'ünü oluşturduğunu fakat kollajendeki durumun tersine olarak peptid zincirindeki dağılımının her zaman düzenli olmadığını göstermiştir. Bununla beraber diğer elde edilen bulgular primer yapı düzeyinde elastin ve kollajen arasında benzer bir akrabalık ilişkisi olduğu tezini güçlendirmektedir.

Elastinin karboksil ucunda prolin nisbeten seyrek bulunmasına karşın, amino ucta sıkılıkla bulunur. Amino ucundaki prolinler elastinde kısmen hidroksillenmiştir. Kollajende hidroksipirolin üçlü helix yapısının sağlamlığında rol oynarken(47,78) elastinde hidroksipirolin için herhangi bir fonksiyon henüz bilinmemektedir.

1.2.3. Elastinde Çapraz Bağlar

Elastik liflerin en önemli özelliği, fonksiyon görmesi için çok gereklili olan polipeptid zincirlerindeki yüksek çapraz-bağlanma düzeyidir. Bu çapraz bağlar peptid zinciri içerisindeki lizin kalıntılarının peptidil lizin oksidaz (lizil oksidaz) enzimi etkisi ile α amino adipik semialdehide (allizin) oksidasyonu ile oluşturulur (Şekil 1).



Şekil 1- Lizin'in lizil oksidaz enzimi etkisi ile α -Amino adipik- δ Semialdehid dönüşümü(100)

Lizil oksidaz kollajen ve elastinde çapraz-bağ yapımı için bilinen tek enzimdir. Bir bakırı metalloenzim olan lizil oksidaz ko-faktör olarak piridoksal fosfata ihtiyaç gösterir(9). Siegel tarafından bu enzim çeşitli bağ dokularından izole edilerek özellikleri geniş şekilde araştırılmıştır(88). Enzimin aktivitesi elastin ve kollajenin olgunlaşmamış fibrillerine karşı yüksektir.

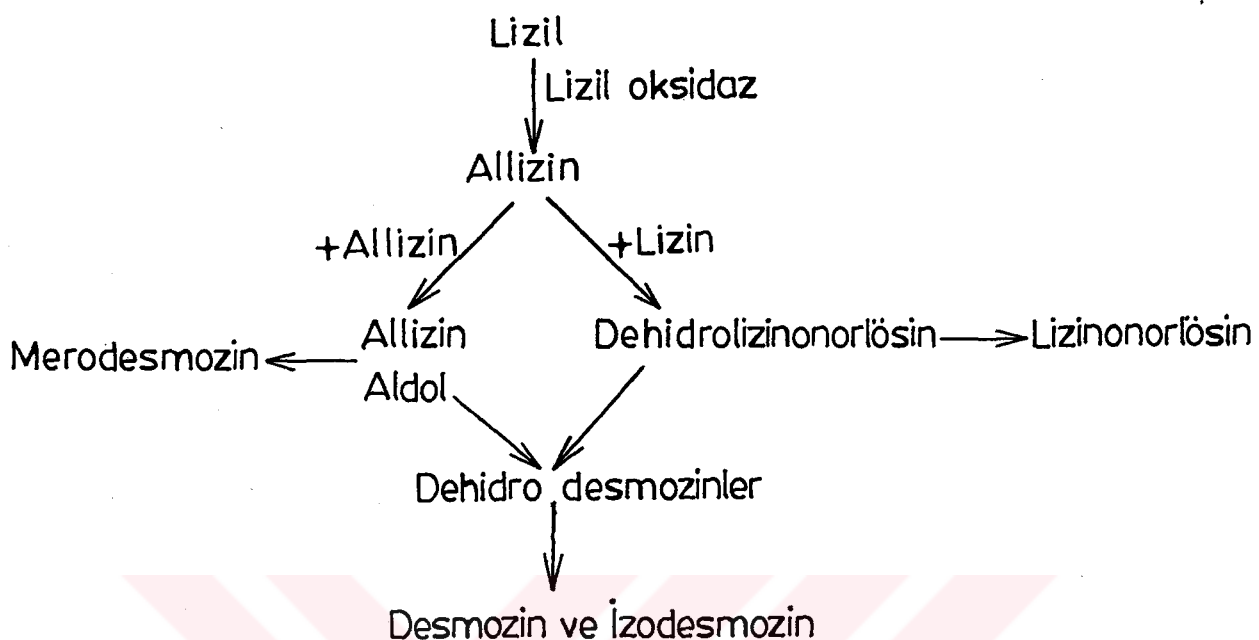
Bağ dokularından elde edilen enzimin iyon değiştirme kromatografisi ile yapılan fraksiyonlama işlemi sonucu hem yükleri farklı hem de molekül ağırlıkları 3×10^4 den 3×10^6 ya kadar olan değişik enzim yapıları görülmüştür. En yüksek molekül ağırlıklı yapı benzer alt ünitelerden oluşmuş olabilir. Ancak bu heterojenitenin anlamı pek açık değildir; çünkü her enzim benzer aktivite sergiler. Elde edilen tüm enzim preparasyonları elastin ve kollajen substratlarına karşı eşit aktivite göstermiştir(76,94).

Enzimin bağ dokusu matriksinde bulunması, onun salgılanarak ekstraselüler boşlukta fonksiyon gösterdiği düşüncesi kuvvetlendirmiştir. *In vitro* incelemelerde fibroblastlardan oluşan hücre kültürü ortamında büyük miktarda lizil oksidaz bulunmaktadır(76).

Sığır Ligamentum Nuchaeinden elde edilen bir glikoproteinin lizil oksidaz aktivitesine benzer bir etkiye sahip olduğu görülmüş ise de bunun enzim ile yapısal bir benzerliği olmadığı anlaşılmıştır(86).

Elastinde çapraz bağ oluşumu üç istisna dışında kollajende olduğu gibidir. 1) Hidroksilizin kullanılmaz, elastinde hiç yoktur. 2) Histidin kullanılmaz, elastinde ya çok azdır ya da bulunmaz. 3) Aldol ve aldimin kondensasyonunun son ürünleri elastinde desmozin ve izodesmozin olarak karakterizedir.

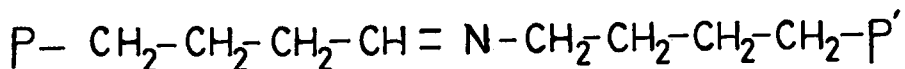
Çapraz bağları oluşturan desmozinlerin oluşum şeması, Şekil 2'de gösterilmiştir.



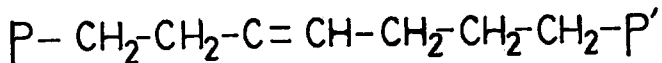
Şekil 2- Elastinde mevcut çapraz bağları oluşturan desmozinlerin oluşumu(28)

Şemada görüldüğü gibi dehidrolizinonor lösin bir allizin kalıntısı ile bir lizinden oluşur, allizin aldolu ise iki allizin kalıntısından meydana gelir. Dehidrolizinonorlösin indirgenmiş ve böylece stabilize olmuş sekonder amin lizinonorlösin olarak da ortaya çıkabilir.

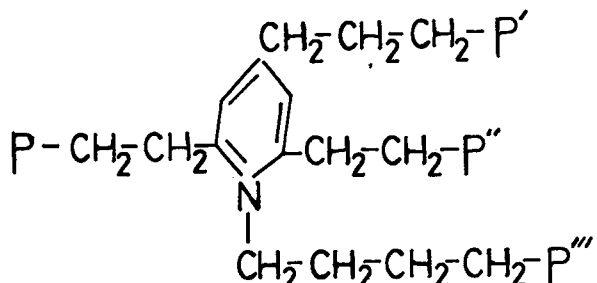
Desmozinler, allizin aldol ve dehidrolizinonörlösinin birleşmesinden ya da bir ara ürün olan dehidromerodesmozine tek bir lizin ya da allizin kalıntısının eklenmesi ile oluşur. Dehidromerodesmozin *in vivo* olarak indirgenmiş şekilde de bulunabilir. Bir çok durumda başlangıç kondensasyon ürünleri dehidrodesmozindir. Bu madde moleküler oksijen gerektiren bir mekanizma ile izodesmozin ve desmozin şekillerine okside olabilir(26,76). Tüm maddelerin yapıları Şekil 3'de gösterilmiştir.



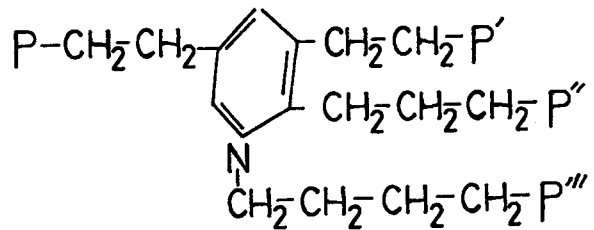
Dehidrolizinonorlösin



Allixin Aldol



Desmosin



izodesmosin

Şekil 3- Elastinde mevcut çapraz bağların yapıları (76)

Meydana gelen çapraz bağların net sonucu oldukça yüksek çözünmez özellikteki bir polimerdir. Bu polimerde bir kaç tipteki zincir içi bağ orjinal tropoelastin zincirleri boyunca sıklıkla oluşur. Çapraz bağ içeriğinden ve elastinin mekanokimyasal özelliklerinden yapılan hesaplamalar, lizin türevi çapraz bağlar arasındaki ortalama mesafenin yaklaşık 65-70 amino asit kalıntısı olduğunu göstermektedir(2).

1.2.4. Elastin Geninin Yapısı

Elastin yapısının aydınlatılmasında alternatif bir yaklaşım elastin geninin DNA baz dizilerinin izolasyonu ve bunların tayinidir. Son yıllarda bu konu ile ilgili çalışmalarında insan, koyun, sığır gibi türlerde elastin geninin 3' bölgesinin önemli bölümleri elde edilmiştir(21,24,105). Geniş DNA dizileri, elastin geninin oldukça yayılmış genlerden bir tanesi olduğunu ortaya koymuştur. Intron, ekson oranı 15/1'dir. Diğer yayılmış genlerden Ör. Kollajen $\alpha_2(1)$ geninde bu oran 8/1'dir. Tropoelastinin prokollajen zincirinin yarısı kadar olması, tüm elastin geni hakkında bir fikir verebilmektedir. Buna göre bu genin 40 kb'in üstünde olduğu tahmin edilmektedir. Elastinin hidrofobik ve çapraz bağlı bölgeleri ayrı eksonlar tara-

fından kodlanmaktadır.

DNA dizilerinin saptanması ile elde edilen amino asid dizileri bakımından insan, sığır, koyun gibi türler arasında yaygın bir benzerliğin olduğu görülmüştür. Bununla beraber DNA dizilerinin çevirimi ile tespit edilen son 58 karboksi terminal amino asid triptik peptidlerde gösterilememiştir. Ancak son zamanlarda Gly - Gly - Ala - Cys - Leu - Gly - Lys - Ser - Cys - Gly - Arg - Lys - Arg - Lys ile sonlanan karboksi uçlar belirlenmiştir.

Primer yapı üzerinde daha önce yayınlanan çalışmalarda tropoelastinde sistein bulunduğu gösterilememiştir. Buna karşılık sisteinin in vitro bir çalışmada piliç aortasında translatasyon esnasında inkorpore olduğu yayınlanmıştır(33). Tropoelastinin karboksi ucunda bazik kalıntıların ve sisteinin bulunması bu bölgenin asidik mikrofibriler komponent ile amorf elastin kısımlarının birleşmesinde rol oynayabileceğini göstermektedir(1).

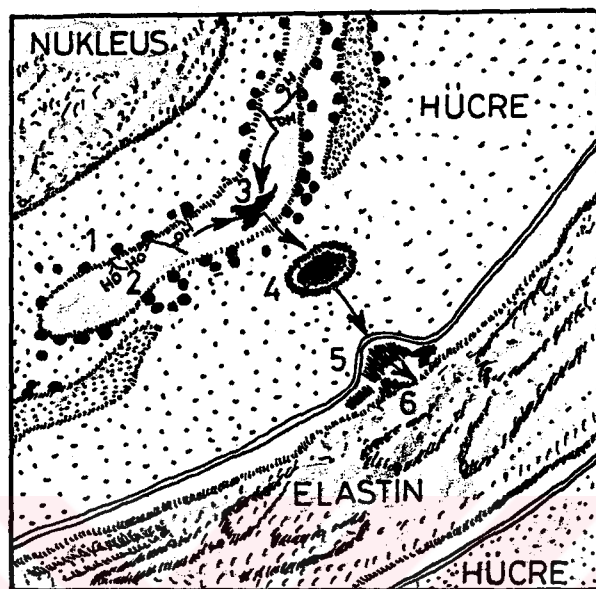
1.2.5. Elastin Biosentezi

Elastin biosentezi çeşitli hücre kültürlerinde gösterilmiştir. Bu-
lar arasında endotelial hücreler, düz kas hücreleri, elastik kıkırdak doku-
nun kondroblast hücreleri, fibroblastları sayabiliriz(19,58,69,92,96).

Elastin biosentezinde (Elastogenesiz) ilk aşama elastinin çözü-
nür ön maddesi olan tropoelastinin sentezidir. Ancak Foster ve arkadaşı-
rı(32) latiritik civciv aortalarından molekül ağırlığı 130.00-140.000 olan
çözünür bir elastin türü elde ettiler ve buna proelastin adını verdiler. Bu
proteinin elastin biosentezinde ilk ön madde olabileceğini ve bunun prote-
olitik yıkımı ile tropoelastinin oluşabileceğini ileri sürdüler.

Elastin biosentezi Şekil 4'de şematik olarak gösterilmiştir. Buna
göre ilk aşamada tropoelastin granüllü endoplasmik retikulum da sentez
edilerek, lümende birikir. Tropoelastin moleküllerinin sentezi için yakla-
şık 20 dakikaya ihtiyaç olduğu anlaşılmıştır. Tropoelastin molekülleri
buradan küçük vesiküler içersine alınır. Bu ufak vesikülerin bir kısmı bir-

birleri ile birleşerek büyük vesikülleri oluşturur. Bunlar depo fonksiyonu da görürler.



Şekil 4- Elastin biosentezinin şematik gösterimi (79)

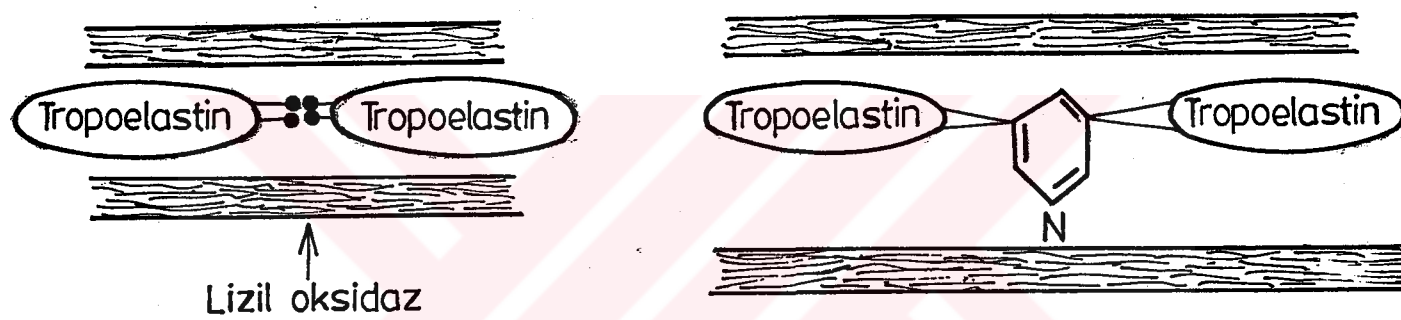
Her iki tip vesikül hücrenin plasma membranı ile birleşerek ekso-sitotik bir işlem ile hücre dışına salgılanır. Salgılanan vesikül içeriğinin yalnızca elastinden ibaret olup olmadığı veya mikrofibriler komponent ve lizil oksidaz gibi diğer ekstraselüler matriks komponentlerini de içerip içermediği bilinmemektedir. Ancak elastinde çapraz bağ oluşumunun bu keseciklerde başlamış olduğunu ileri süren görüşler de vardır(79,83).

Tropoelastin sekresyon hızı, prokollajenden farklı olarak, peptidil prolin hidrosilasyonunun inhibisyonu ile değişmez(77,99). Buna karşılık kolçisin gibi mikrotubuller üzerine etkili maddeler sekresyonu anlamlı olarak inhibe eder.

Elastin sentez hızının kontrolü ile ilgili çalışmalar, dokularda sentez hızı ile fonksiyonel elastin mRNA düzeyi arasında kuvvetli bir ilişki ortaya koymuştur. Buna göre sentez hızı fonksiyonel mRNA düzeyi ile kontrol edilir(14,25,34).

Bağ dokusunun normal gelişimi ile ilişkili bir hormon olan somatomedin C (IGF-I)'nin elastin sentezi üzerine etkileri incelenmiş ve fonksiyonel tropoelastin mRNA ile tropoelastin sentezinde anlamlı bir artışa neden olduğu bildirilmiştir. IGF-1'in bu etkisinin pretranslasyon düzeyinde olduğu anlaşılmaktadır(35).

Elastin biyosentezinin ikinci aşamasında ekstraselüler bölgede tropoelastin molekülleri mikrofibril dizilerinin arasında yer alarak çapraz bağlar oluşturmak sureti ile elastine polimerleşir (Şekil 5)(72).



Şekil 5- Mikrofibril dizileri arasında yer alan tropoelastin moleküllerinin elastine polimerleşmesi(72)

Ross ve Bornstein adlı araştırmacılar meydana gelen elastin polimerinin mikrofibriller aracılığı ile biçimlenmesi (fibrilogenesiz) olayını, negatif yüklü mikrofibrillerin pozitif yüklü tropoelastin moleküllerini etkileyerek, polimer elastinin yapımı süresince onları fibriller biçiminde düzenlerler şeklinde açıkladılar(74,75).

1.2.6. Elastin Yıkılımı

Mikrofibriler komponentin çeşitli proteazlar tarafından parçalanabilmesine karşın, elastin yalnızca spesifik elastazlara karşı hassastır. İlk elastazlar bakterilerden elde edilmiştir. Bunların içinde bir kaç tür insanlarda patolojik olarak rol oynayabilir. En önemlileri Pseudomonas

aeroginosadır. Bu organizma tarafından üretilen elastaz bir metalloenzim olup tercihli olarak lösin ve izolösin bağlarına etki eder. Ayrıca α_1 -proteinaz inhibitörünü inaktive eder(59).

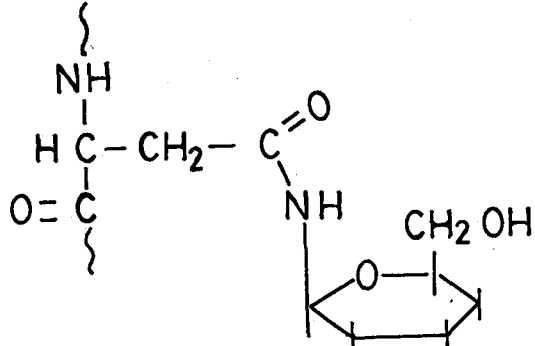
Omurgalılarda keşfedilen ilk elastaz domuz pankreasından izole edildi(15). Diğer türlerde de benzer enzimler saptandı. Bu enzimler α_1 -proteaz inhibitörü ve α_2 makroglobulin tarafından inhibe edilir. Pankreatik elastaz tercihli olarak elastinde alanın kalıntılarının karboksil tarafına etki eder; fakat aynı zamanda diğer hidrofobik amino asitlerin peptid bağlarını da hidroliz eder.

Polimorfonükleer lökositlerde elastaz sentezleyerek salgılarlar. Bu husus ilk olarak Janoff ve Scherer tarafından gösterilmiştir(46). Lökosit kaynaklı elastazda α_1 -proteinaz inhibitörü ve α_2 makroglobulin tarafından inhibe edilir(6).

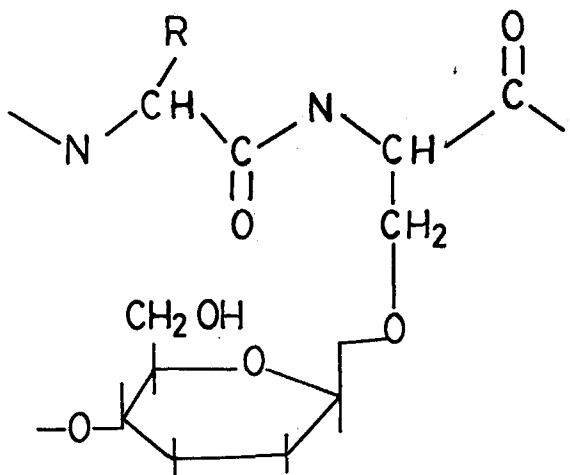
2. PROTEİNLERİN GLİKOZİLLENMESİ

Glikozilleme (Glikozilasyon) proteinlerin enzim aracılığı ya da enzim aracılığı olmaksızın (nonenzimatik) karbohidrat molekülleri ile bağlanmasıdır.

Proteinlerin enzimatik glikozilleme, hücrede golgi kompleksi ve endoplazmik retikulum lümeninin major metabolik aktivitelerinden biridir. Özel glikozil transferazların etkinliğinde yürüyen reaksiyonlar sonucu oluşan ürünler glikoproteinler olarak adlandırılır. Glikoproteinlerde şeker kalıntıları (glukoz, galaktoz, mannoz, fukoz, N-asetilglukozamin, N-asetilmannozamin, sialik asidler) asparajin aminoasidine B-N-glikozid bağı ile bağlıdır (Şekil 6). Buna karşılık şeker kalıntıları serin, treonin, hidroksilizin amino asidlerinin hidroksil gruplarına O-Glikozid bağı ile bağlıdır (Şekil 7). Bu grup nispeten daha seyrektrir(16,70).



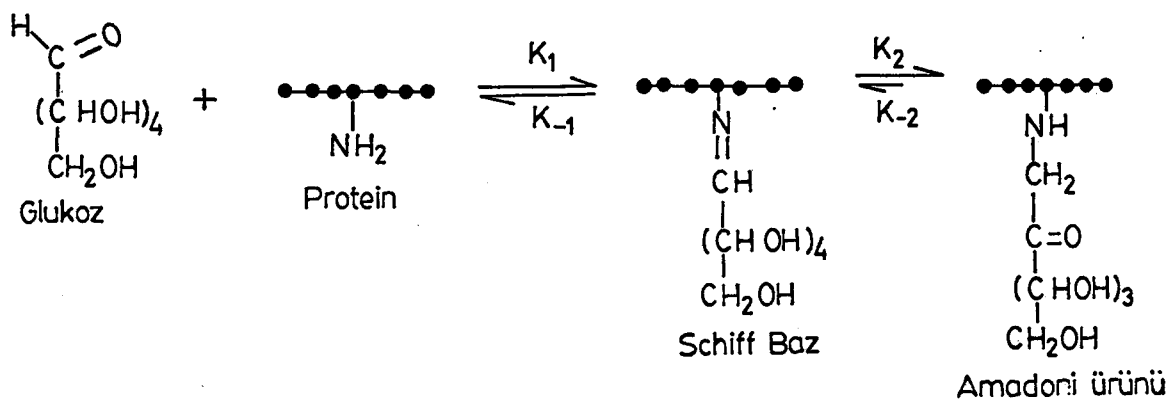
Şekil 6- Şeker kalıntıları ile peptid zinciri arasındaki N-glikozid bağı(70)



Şekil 7- Şeker kalıntıları ile peptid zinciri arasındaki O-glikozid bağı (3)

Nonenzimatik glikozilleme reaksiyonunda proteinlerin N-terminal amino gruplarına ve lizin amino asidlerinin Σ amino grubuna şeker kalıntılarının fosforillenmiş şekilleri serbest karbonil grupları ile bağlanırlar. Enzim etkisi olmadan proteine bağlanan karbohidrat molekülü glukoz olduğu zaman bu durum nonenzimatik glukozilleme olarak da adlandırılır(16,50,57).

In vivo ve *in vitro* olarak meydana gelebilen nonenzimatik glikozilleme Şekil 8'de formüllendirilmiştir. Reaksiyonun ilk basamağı proteinin amino grubuna glukozun nukleofilik bir atak yaparak aldimin yapılı Schiff bazi oluşturulması ile başlar. Meydana gelen Schiff bazın oluşum sabiti (K_1), disosiasyon sabitine (K_{-1}) eşittir. Birinciye göre daha yavaş seyreden ikinci basamakta; Amadori çevirimi olarak adlandırılan bir reaksiyon ile Amadori ürünü adı verilen ketoamin yapı oluşur. Bu ürünün geri dönüşüm hızı birinci ürüne göre daha yavaştır ($K_2 > K_{-2}$). *In vivo* olarak organizmada yarı ömrü gün ya da haftalar ile ölçülebilen proteinlerin (Hemoglobin, Albumin) glikozillemesi sonucu ketoamin ürünler birikir. Bunlar erken glikozilleme ürünleridir(10,12,49).

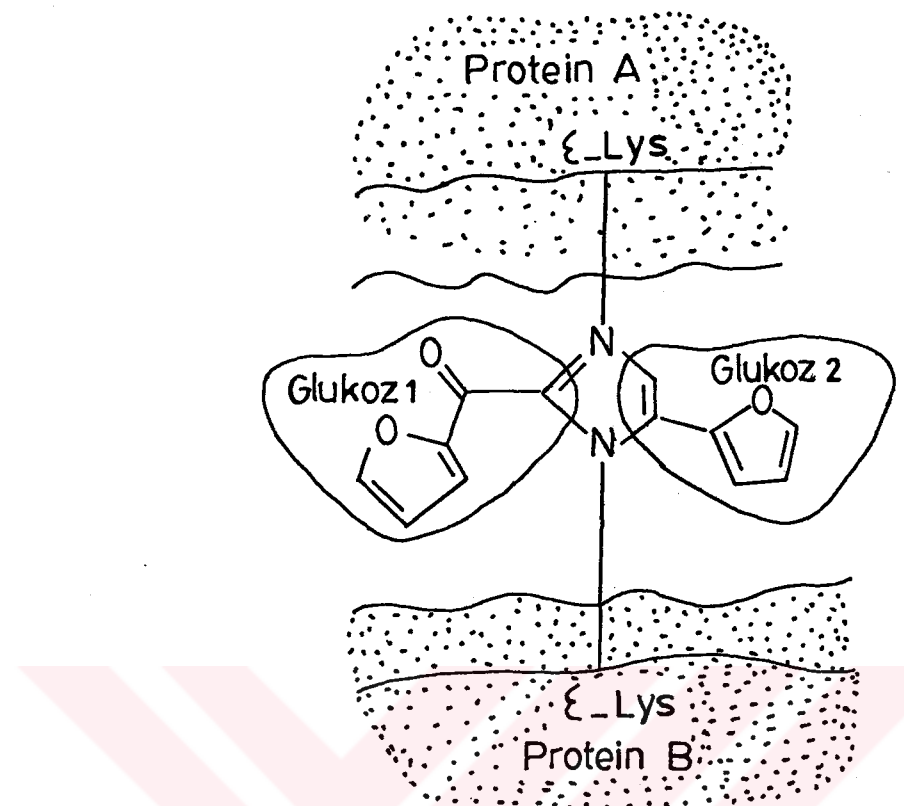


Şekil 8- Proteinlerin non enzimatik glikozilleme formülü(10)

Yarı ömrü kısa olan proteinlere zit olarak kristallin, kollajen, elastin, myelin gibi dönüşüm hızı çok yavaş olan proteinler post Amadori nonenzimatik glikozilleme ürünleri olarak birikir. Bunlar keto aminin daha ileri dehidratasyona uğraması ile oluşur.

$\overset{\text{Kn}}{\longrightarrow}$
 Amadori ürünü $\rightarrow \rightarrow \rightarrow \rightarrow \rightarrow$ ileri glikozilleme ürünler

Kahverenkli, fluoresans veren ileri glikozilleme ürünleri protein molekülleri arasında çapraz bağlanmalara yol açarlar ve melanoidler olarak da adlandırılırlar(7,10,12,49). Çapraz bağlanmanın iki adet glukoz molekülü ile iki adet lizinin Σ amino grubu arasındaki heterosiklik kondensasyon ile olduğu gösterilmiştir (Şekil 9)(10,12).



Şekil 9- Protein molekülleri arasında meydana gelen çapraz bağlanmanın şematik yapısı (Bileşiğin adı: (2-furoyl)-4(5)-(2-furanyl)-1H-imidazol)(12)

Fizyolojik koşullar altında bu ürünlerin yapım hızı çok yavaştır ve amadori ürünlerinden farklı olarak bir kere meydana geldikten sonra tekrar geri dönüşümleri yoktur. İleri glikozilleme ürünlerinin meydana gelme reaksiyonları "Maillard reaksiyonları" olarak da bilinir(12,30).

In vivo ve *in vitro* olarak nonenzimatik glikozillemeye uğrayan proteinler Tablo 4'de gösterilmiştir. Proteinlerin nonenzimatik glikozilleri üzerine *in vivo* ve *in vitro* ortamlarda etkili çeşitli faktörler vardır. Bunlar Tablo 5'de gösterilmiştir.

Tablo 4

In vivo ve In vitro olarak nonenzimatik glikozillenen proteinler(16)

| <u>In vivo</u> | <u>In vitro</u> |
|-------------------------------|---------------------------|
| Hemoglobin | Antitrombin III |
| Eritrosit membran proteinleri | Fibrin |
| Fibrinojen | Endotelyal hücre membranı |
| Albumin | HDL |
| LDL | Katepsin B |
| Kollajen | β -N-asetil-D |
| Myelin proteinleri | glukozaminidaz |
| Periferik sinir proteini | Pankreatik ribonükleaz A |
| Tubulin | Ferritin |
| Lens kristallinleri | |
| Lens kapsül proteinleri | |
| Kemik proteinleri | |
| İnstülin | |

Tablo 5

In vivo ve In vitro ortamlarda non enzimatik glikozilleme üzerine etkili faktörler(12)

| <u>In vitro</u> | <u>In vivo</u> |
|---------------------------|--|
| pH | Sabit |
| İşı | Sabit |
| Protein konsantrasyonu | Sabit |
| Amino grubu yakın çevresi | Sabit |
| Glukoz konsantrasyonu | Ortalama kan glukoz düzeyi |
| Inkübasyon süresi | Hiperglisemi süresi ve protein yarı ömrü |

Herhangi bir protein için nonenzimatik glikozillenmenin miktarı birbirinden bağımsız olarak etki eden değişkenlerin etkilerinin toplamı ile değerlendirilir. Bu değişkenlerin ilk dört tanesi canlı sistemlerde sabittir. *In vitro* olarak pH'ın önemli etkisi vardır. Deneysel olarak Amadori ürünün pH'7'nin altında iyi bir şekilde meydana gelmediği görülmüştür. pH 7 ile 9 arasında ise Amadori ürünü dengeye erişerek artar. Bu gözlem sadece proteinler üzerindeki yüksüz amino asidlerin glukoz ile bu tip bir ekleme reaksiyonuna girebileceklerine dair kimyasal teori ile paralellik gösterir.

Isıya artırmak Amadori ürününün oluşum hızında diğer nonenzimatik kimyasal reaksiyonlardakine benzer şekilde nisbi bir artışa yol açar. *In vivo* olarak sabit olan diğer iki faktör protein konsantrasyonu ve amino grubunun yakın çevresidir. Yüksek protein konsantrasyonunda glukoz ile potansiyel olarak reaksiyona girebilecek amino gruplarının sayısı artarken, her amino grubunu çevreleyen bölgelerdeki proteinlerin lokal çervesi bu amino gruplarının glukoz ile reaksiyona girmesi üzerine direk etki yapar. Bu son faktörler belirli bir proteinde görülen ve tesadüfi olmayan amino grubu glikozillenmesini açıklamak ile kalmaz, aynı zamanda farklı proteinler arasında görülen non enzimatik glikozillenme hassasiyetindeki değişiklikleri de açıklar(12,37,38).

Glukoz konsantrasyonu ve inkübasyon zamanı nonenzimatik glikozillenmenin miktarını etkileyen klinik olarak en önemli değişkenlerdir.

Glukoz konsantrasyonunu artırmak, proteinler üzerinde birikmiş Amadori ürünlerinin aynı oranda artmasına sebep olur. Inkübasyon zamanının uznuluğu iki nedenle önemlidir. Birincisi; Amadori ürünlerinin dengeye erişilene kadar zaman geçtikçe birikmeye devam etmesidir. Bu birikim bir çok kritik proteinin önemli fonksiyonel özelliklerini belirgin derecede bozmaya yetebilir. İkinci neden; Amadori ürünlerinin dengeye erişikten sonraki sabit düzeyleri, dengenin ortalama kan glukoz düzeylerinde oluşabilmesi için gerekli zamanın ötesinde artmamasına rağmen, ileri glikozillenme ürünleri tekrar kullanılan proteinlerin tüm hayatı boyunca birikmeye devam eder. İleri glikozillenme ürünlerinin belirgin klinik sonuçları protein moleküllerinin arasında veya içinde yer alan artmış çap-

raz bağlanma ile ilişkili değişmiş fizyolojik olaylardan ve diğer glikozilleme ile ilişkili yapısal değişikliklerden kaynaklanır(12).

Nonenzimatik glikozilleme etkisi ile proteinlerde meydana gelen fizyolojik değişiklikler Tablo 6'da özetlenmiştir.

Tablo 6

Nonenzimatik glikozillemenin çeşitli protein fonksiyonları üzerine etkisi(12)

Enzim aktivitesi

Regülatör moleküllerin bağlanması

Proteinlerin çapraz bağlanması

Proteazlara karşı duyarlılık

Makromoleküllerin hücre yüzey reseptörleri tarafından tanınması ve endositoz

Immunolojik etki

Tabloda görüldüğü gibi bu fizyolojik değişikliklerin ilki enzim proteinlerinin aktivitesinde meydana gelen değişmedir. Ancak in vivo olarak nonenzimatik glikozilleme enzim proteinlerinde önemsenenek düzeyde meydana gelmez. Çünkü bu proteinlerin çoğu genellikle kısa yarı ömrülüdür. Bununla aberaber reversibl glukoz-protein Schiff baz bileşikleri oluşur ve in vivo olarak bu bileşiklerin konsantrasyonlarındaki artış enzimlerin katalitik özelliklerini ile anlamlı olarak ilişkilidir. Bu inaktivasyon mekanizması aktif bölgede normal fonksiyonlar için gerekli lizin amino asidlerinin Σ amino gruplarının glukoz ile bağlanması sonucu oluşur(12). Örneğin ribonukleaz A; glukoz ile yirmi dört saat inkübe edilir ise enzim aktivitesini % 50 oranında kaybettiği saptanmıştır(27). Benzer sonuçlar katepsin B ve papain içinde alınmıştır(23).

Organizmada bazı proteinlerin fonksiyonu çeşitli regülatör moleküller ile düzenlenir. Regülatör moleküllerin bu proteinlere bağlanması üzerine nonenzimatik glikozillemenin etkisi vardır. Regülatör moleküllerin bağlanması için gerekli terminal amino asidin α -amino grubu ya da lizi-

nin Σ amino grubunun nonenzimatik glikozillenmesi ile bu moleküllerin bağlanması inhibe eder. Regülatör moleküllerin bağlanmalarına iyi bir model 2,3 DPG'nın hemoglobine reversibl bağlanmasıdır. 2,3 DPG'de bağlanma için gerekli pozitif yüklü grupların nonenzimatik glikozillenmesi bu molekülün hemoglobine bağlanması azaltır(67).

Nonenzimatik glikozillenmenin yol açtığı bir diğer fizyolojik değişim daha önce de kısaca bahsettiğimiz gibi proteinlerde meydana gelen çapraz bağlardır. Çapraz bağlanmaların yol açtığı agregatlaşma organizmada ilk olarak lens proteinleri olan kristallinler üzerinde incelenmiştir(93). Oluşan bu agregatlaşmalar proteinlerin normal fizyolojik fonksiyonlarını olumsuz olarak etkiler.

Nonenzimatik glikozillenen proteinlerde proteazlara karşı duyarlılıkta azalma görülmüştür. Buna iyi bir örnek fibrindir. Diabetli hastalarda nonenzimatik olarak glikozillenen fibrinin plazmine karşı duyarlılığının azaldığı saptanmıştır(11).

Nonenzimatik olarak glikozillenen makromoleküllerin hücre reseptörleri tarafından tanınması ve endositoza uğramaları da etkilenmektedir. Hücre yüzeleri çeşitli moleküller yüksek affinitede bağlayabilen reseptörler içerir. Bu reseptörlere çeşitli moleküllerin bağlanabilmesi organizmada homeostazın muhafzasında önemlidir. Çeşitli proteinlerin nonenzimatik glikozillenme yolu ile modifikasyonları tanınmalarını ve endositozlarını anlamlı olarak değiştirir(89). Buna örnek olarak serum albumin ve LDL (düşük dansiteli lipoprotein) molekülerini verebiliriz. Glikozillenen serum albuminin kapiler endotel hücreleri tarafından endositozu arttıgı halde, yine glikozillenen LDL molekülerinin fibroblastlar tarafından fagosite edilmeleri azalmıştır(39,102,103).

Yine nonenzimatik glikozillenmenin proteinler üzerinde yol açtığı bir başka modifikasyon, nonenzimatik glikozillenmeye uğrayan proteinlerin antijenik karakter kazanarak otoantikor oluşumuna yol açabilmeleridir(12,104).

Proteinlerin glikozillenme hızında karbohidrat türlerinin de etki-

si olduğu ileri sürülmüştür. Yapılan araştırmalarda aldozların, ketozlara göre proteinler ile daha hızlı reaksiyonlaştıkları gösterilmiştir(13,50). Bu farkın karbonil grubunun aldehid yapısı içinde daha elektrofilik olması ile olduğu düşünülmüştür(13). Buna karşılık Oimomi ve arkadaşları deney-sel olarak albüminin fruktoz ile glukoza oranla daha hızlı glikozillendiğini göstermişlerdir(60).

III. GEREÇ VE YÖNTEMLER

3.1. GEREÇLER

3.1.1. Materyal

Araştırmada kullandığımız elastin Sütlüce Et ve Balık Kurumunda, gerekli sağlık kontrollerinden geçerek kesimleri yapılan sığırlardan alınan 25 adet aorta thoracica'dan elde edildi.

3.1.2. Kimyasal Maddeler

Aseton (Ataay), eter (Atabay), absolü alkol (99,9°Tekel), sodyum hidroksid (Merck), hidroklorik asid (Merck), sodyum azid Merck), sodyum klorür (Merck), glukoz (Merck), fruktoz (Merck), oksalik asid (Merck), triklor asetik asid (Merck), tiobarbitürik asid (Sigma), amonyum sülfat (Merck), Ponceaus (Gelman), sodyum dihidrojen fosfat (Merck), dipotasium hidrojen fosfat (Merck), asetik asid (Merck), fosforik asid (Merck), potasyum hidroksid (Merck), bakır sülfat (Merck), sodyum karbonat (Merck), sodyum tartarat (Merck), Orto fosforik asid (Merck), litium sülfat (Merck), Brom (Merck).

3.1.3. Aletler

| | |
|--------------------------|------------------------------|
| Çalkalama aygıtı | "Tabor" |
| Et kıyma makinesi | |
| kahve değirmeni | |
| Etüv | "Heraeus" |
| Manyetik karıştırıcı | "IKA" |
| Liyofilizatör | "Thermovac Industries Corp." |
| Elektroforez tankı | "Gelman" |
| Elektroforez güç kaynağı | "Gelman" |
| Dansitometre | "Gelman" |
| Amino asid analizörü | "Biotronik 5001" |
| pH metre | "PYE model 78" |
| Otoklav | "Veb" |
| Su banyosu | "Elektromag" |
| Spektrofotometre | "Bausch Lomb.Spectronic 70" |

3.1.4. Çözeltiler

- % 0,9 NaCl: 9 g sodyum klorür destile suda çözülerek 100 ml'ye tamamlandı.
- 0,1 N sodyum hidroksid: 4 g sodyum hidroksid destile suda çözülerek 100 ml'ye tamamlandı.
- 0,5 N HCl-ethanol: 4,14 ml derişik hidroklorik asid 99,9° lik etanol ile 100 ml'ye tamamlandı.
- Tris-barbital tamponu: pH 8.8
- Selüloz asetat elektroforez boyama çözeltisi: 500 mg ponceau S % 5 (w/v) triklor asetik asid çözeltisinde çözülerek 100 ml'ye tamamlandı.

- Elektroforez yıkama çözeltisi: % 5 (w/v) asetik asid.

- Fosfat tampon çözeltisi

(PBS) (pH:7.4): 1.392 g K_2HPO_4

0.276 g $NaH_2PO_4H_2$

8.76 g NaCl

900 ml destile suda çözüldü, pH: 7.4'e ayarlanarak 1000 ml'ye tamamlandı.

Döymüş amonyum sülfat çözeltisi: Sıcak destile su içeresine katı amonyum sülfat artık çözünmeyeinceye kadar ilave edildi. Üç gün oda temperatüründe beklandı. Dıpte oluşan kristalizasyonun üstündeki sıvı kısım döymüş amonyum sülfat çözeltisi olarak kullanıldı.

- 0,5 M oksalik asid çözeltisi: 6.3 g $(COOH)_2 \cdot 2H_2O$ destile suda çözülerek 100 ml'ye tamamlandı.

- % 40 triklor asetik asid çözeltisi: % 100 triklor asetik asid çözeltisinden 40 ml alınarak destile su ile 100 ml'ye seyreltildi.

- 0,05 M tiobarbitürik asid çözeltisi: 0,721 g 2-tiobarbitürik asid destile suda çözülerek pH'ı 6'ya ayarlandı ve destile su ile 100 ml'ye tamamlandı.

- 6N hidroklorik asid çözeltisi: 49,8 ml derişik hidroklorik asid destile su ile 100 ml'ye tamamlandı.

- % 20 sodyum hidroksid çözeltisi: 20 g sodyum hidroksid destile suda çözülerek 100 ml'ye tamamlandı.

- Standart fruktoz çözeltileri:

a) Stok standart çözelti (1 mM): 180 mg fruktoz 0,15 M NaCl içinde çözülerek 100 ml'ye tamamlandı.

b) Çalışma standart çözeltileri:

Stok standart çözeltisinden

- 1- 0,5 ml alınarak 0,15 M NaCl ile 50 ml'ye tamamlandı (10 nmol/ml).
- 2- 1 ml alınarak 0,15 M NaCl ile 50 ml'ye tamamlandı (20 nmol/ml).
- 3- 2 ml alınarak 0,15 M NaCl ile 50 ml'ye tamamlandı (40 nmol/ml)
- 4- 3 ml alınarak 0,15 M NaCl ile 50 ml'ye tamamlandı (60 nmol/ml).

- Stok bakır sülfat çözeltisi (% 1): 1 g bakır sülfat destile suda çözülerek 100 ml'ye tamamlandı.

- Stok alkali tartrat çözeltisi: 20 g sodyum karbonat, 0,5 g sodyum tartrat 0,1 N sodyum hidroksid içinde çözülerek 100 ml'ye tamamlandı.

- Folin-Ciocalteau Fenol çözeltisi

25 g, $\text{Na}_2\text{MOO}_4 \cdot 2\text{H}_2\text{O}$, 100 g $\text{Na}_2\text{WO}_4 \cdot 2\text{H}_2\text{O}$ 700 ml destile suda çözüldü, 50 ml orto fosforik asid, 100 ml hidroklorik asid ilavesi ile geri soğutucu altında on saat kaynatıldı. 150 g lityum sülfat, 50 ml su, 2-3 damla brom ilave edilerek on beş dakika daha kaynatıldı, soğutuldu ve 100 ml'ye tamamlandı.

4.2. YÖNTEMLER

4.2.1. Elastin Eldesi

Mezbahada kesimden hemen sonra serum fizyolojik içersine alınarak kandan temizlenen aorta thoracica (sığır) lardan elastinin elde edilmesinde Balo ve Banga tarafından önerilen yöntem uygulandı(7).

Buna göre, aortalar makroskopik olarak yeteri kadar temizlen- dikten sonra makasla ince bir şekilde doğranarak et kıyma makinesinden üç kez geçirildi. Elde edilen kıyılmış aortalar birer litrelilik şişelere alınarak üzerlerine hacimlerinin 5-6 misli aseton ilave edildi ve çalkalama aygitına yerleştirilerek iki saat çalkalandı. Bu süre sonunda süzgeç kağıdından süzülerek yine 5-6 misli aseton eklenmesi ile çalkalama işlemi yirmi daka uygulandı. Tekrar süzülerek öncekilerin yarısı kadar aseton hacmi ile aynı işlem tekrarlandı. Süzgeç kağıdından süzülen aorta parçaları bu defa hacimlerinin 5-6 misli eter ilavesi ile çalkalama aygitında yarım saat çalkalandı. Bu işlem yarı eter miktarı ile iki kez takrarlandı. Kıyma halindeki aorta parçaları tüm işlemler sonucunda yağsızlaştırılmış ve suyu çekilmiş olarak süzgeç kağıdı üstüne yayıldı. Önce açık havada eter kokusu kalma- yincaya kadar bekletildi. Daha sonra vakumlu desikatöre konarak kurutuldu; kahve değirmeninden çekilerek yağsız aorta tozu elde edildi.

Elde edilen yağsız aorta tozunun 25 gr'ı 700 ml 0,1 N sodyum hidroksid içinde olacak şekilde 98°C'de 60 dakika süreyle ve arasında karıştırılarak ısıtıldı. Bu süre sonunda nuçe yardımı ile çözünmeyen kısım çözünen kısımdan ayrıldı ve destile su ile yıkandı. Bu yıkama işlemi yıkama suyu alkali reaksiyon vermeyinceye kadar sürdürüldü. Son olarak % 96'luk alkolden geçirildi ve süzgeç kağıdı üzerine alınarak önce açıkta, daha sonra vakumlu desikatörde kurutuldu. Kahve değirmeninden çekilerek toz halde elastin elde edildi.

4.2.2. Çözünür Elastin Türevinin Eldesi(45)

2,5 g elastin tozu 100 ml HCl-ethanol çözeltisi içinde olacak şekilde süspansiyon hazırlandı.

Süspansiyon üç buçuk saat 65° de geri soğutucu altında manyetik karıştırıcı yardımı ile kaynatıldı. Bu şekilde elastinin parsiyel hidroliz yolu ile çözünürleştirilmesi sağlandı. Süre sonunda süzgeç kağıdından geçirilerek çok küçük miktar da olsa çözünmeyen kısım uzaklaştırıldı.

Elde edilen süzüntü buz banyosunda 10° ye kadar soğutularak ölçülen hacminin bir buçuk katı kadar eter ilave edildi. Oluşan çökelti santrifüj edilerek sıvı fazdan ayrıldı ve destile suda çözünürlerek +4°C de destile suya karşı diyaliz edildi. Diyaliz sonucunda protein çözeltisinin pH'ı kuvvetli asid reaksiyondan, hafif asid reaksiyonuna dönüştü. Bu çözelti daha sonra kapsül içerisinde alınarak, liyofilizatörde suyu tamamen üçüncüya kadar liyofilize edildi. Bu işlem sonunda elastinin çözünür hidroliz ürünü elde edildi.

Elde edilen çözünür elastin türevi miktarı 2,5 g elastin başına yaklaşık 550 mg kadardı.

4.2.3. Selüloz Asetat Elektroforez Yöntemi

Çözünür elastin türevinin selüloz asetat elektroforezine uygulanabilmesi amacıyla 50 mg/ml'lik bir numune hazırlandı.

Elektroforez tankı, elektroforez tampon çözeltisi ile dolduruldu. Selüloz asetat şeritleri numuneler uygulanmadan önce tampona yerleştirilerek beş dakika kadar bırakıldı. Bu süre sonunda bir pens yardımı ile şeritler kurutma kağıdına alınarak fazla tampon miktarı uzaklaştırıldı. Şeritler elektroforez tankına yerleştirilerek manyetik tutucular yardımı ile gerginleştirildi. Çözünür elastin türevi ve normal serum numuneleri ayrı ayrı şeritlerin katod tarafındaki ucuna aplikatör yardımı ile uygulandı. Tankın kapağı kapatıldı ve güç kaynağı 250 volta ayarlandı. Tank su soğutma sistemine bağlanarak içinde meydana gelebilecek terleme önlenindi.

30 dakika sonra güç kaynağı kapatıldı ve şeritler bir pens yardımı ile dikkatlice tanktan alınarak içinde boyama çözeltisi bulunan kaba bırakıldı; 10 dakika beklandı. Şeritler daha sonra içinde % 5 (w/v) asetik asid bulunan üç ayrı yıkama kabına alınarak bantlar haricindeki boyanın şeritlerden uzaklaştırılması sağlandı.

4.2.4. Amino Asid Analiz Yöntemi

Çözünür elastin türevinin amino asid içeriği Türkiye Bilimsel Tetkik ve Araştırma Kurumu Beslenme bölümünde sıvı kolon kromatografî amino asit analizörü kullanılarak tayin edildi(8).

Yöntemin Prensibi: Protein örneğinin 6N HCl de $110^{\circ}\text{C} \pm 1$ de yirmi dört saat hidrolizi ile serbest olarak açığa çıkan amino asidler bir evaporatörde asidin uzaklaştırılmasından sonra pH değeri 2,2 olan sodyum tamponu çözeltisine alınarak amino asit analizörüne verilir ve bu örnekler alete daha önceden verilen yirmi adet amino asidi içeren standart örneğine karşı okunarak değerlendirilir. Amino asid analizörü amino asitleri katyon değiştirici reçine içeren kolonlar üzerinde kromatografik olarak ayırrı. Kolonlarda yer alan reçine benzen halkalarına bağlanmış sülfonyik asit taşıyan poli strenden oluşur. Amino asidlerin ayırımı eksiyüklü sülfonyik asitle olan elektrostatik etkileşimler ve apolar benzen halkaları ile olan hidrofobik etkileşimlerin gücüne göre olur. Amino asitleri kolondan almak için gittikçe artan pH değerlerine sahip olan tampon sistemleri kullanılır. Bu durumda kolondan önce en asidik amino asid olan aspartik asid ve en son olarak da en bazik amino asid arjinin ayrılmaktadır. Her bir amino asidin verdiği piklerden oluşan üçgen alanı o amino asidin miktarını göstermektedir(5).

4.2.5. Çözünür Elastin Türevinin In Vitro NonEnzimatik Glikozillendirilme Yöntemi

Çözünür elastin türevinin in vitro nonenzimatik glikozillendirilmesinde kullanılan yöntem daha önce gerçekleştirilen çeşitli ön deneylerin sonuçları göz önüne alınarak geliştirildi.

Kontrol Deneyleri

10 mg çözünür elastin türevi, 2,8 mM konsantrasyonda sodyum asid içeren pH'1 7,4 olan PBS'in 5 ml'sinde çözülerek 37°C 'lik etüvde 24,

48, 96 saatlik sürelerde inkübe edildi.

- Glukozlu ortamda glikozillendirme deneyleri:

Bu deneylerde iki seri kullanıldı. Birinci seride 10 mg çözünür elastin türevi 2,8 mM konsantrasyonda sodyum azid ve 27,7 mM konsantrasyonda glukoz içeren pH'ı 7,4 olan PBS'in 5 ml'si içinde çözülerek 37°C lik etüvde 24, 48, 96 saatlik sürelerde inkübe edildi.

İkinci seride 10 mg çözünür elastin türevi, 2,8 mM konsantrasyonda sodyum azid ve 55,5 mM konsantrasyonda glukoz içeren pH, 7,4 olan PBS'in 5 ml'si içinde çözülerek 37°C lik etüvde 24, 48, 96 saatlik sürelerde inkübe edildi.

İnkübasyon süreleri sonunda tüm numunelere eşit miktar doy whole amonyum sülfat ilave edilerek çözünmüştür halde bulunan çözünür elastin türevinin çökmesi sağlandı. Çökelti santrifüj edilerek (10 dakika, 2000 rpm) sıvı kısımdan ayrıldı ve beş kez doy whole amonyum sülfat çözeltisi ile yıkandı. Bu şekilde çökelti proteine bulaşık kalmış glukozun uzaklaştırılması sağlandı. Çökeltiler daha sonra serum fizyolojik içerisinde çözülerek amonyum sülfatın uzaklaştırılması amacıyla ile destile suya karşı +4°C de diyaliz suyunda amonyum sülfat kalmayınca kadar diyaliz edildi.

Diyaliz işlemi sonunda tüm numunelerde protein konsantrasyonu Lowry yöntemi kullanılarak tayin edildi.

Protein tayin sonuçlarına göre diyaliz işlemi sonucu eldeki numunelerdeki protein konsantrasyonunun başta alınan miktarı % 70-80 arasında muhafaza ettiği anlaşıldı.

Cözünür elastin türevinde glikozillenme değerleri Parker ve ark. tarafından önerilen kolorimetrik yöntem(62) uygulanarak tayin edildi.

Yöntemin prensibi: 100°C'de ve oksalik asid varlığında proteine bağlı karbohidrat kalıntısının 5-hidroksimetil furfural oluşturmaması ve meydana gelen bu 5-hidroksimetil furfuralin tiobarbitürık asid ile renk reaksi-

yonu vermesidir.

Diyaliz edilen ve içlerindeki protein konsantrasyonu tayin edilen numunelerden 2'ser ml alınarak cam kapaklı tüplere konuldu. Standart olarak işaretlenen tüplere ise her bir çalışma standart çözeltisinden ayrı ayrı 1'er ml konuldu.

Numune tüplerine 0,5 M oksalik asid çözeltisinden 2'ser ml, standart tüplerine ise 1'er ml ilave edildi. Kapaklar sıkıca kapatılarak otoklavda 1 Atmosfer basınç altında 120°Cde 60 dakika süre ile tutuldu.

Bu süre sonunda tüpler otoklavdan alınarak oda ısısında soğumaları beklandı. Soğuyan tüplere % 40 triklor asetik asidden numunelere 2'ser ml, standartlara 1'er ml katılarak, karıştırıldı. 15 dakika bekleniktan sonra tüpler süzüldü.

Süzülen her bir numuneden 1,5'ar ml iki ayrı tübe konuldu. Süzülen standartların her birinden 1,5 ar ml alınarak iki ayrı tüpe kondu. Her konsantrasyona ait iki tüpten geriye kalan miktarlar karıştırılarak, bu karışımından 1,5 ml üçüncü bir tüpe kondu (standart körü).

Numune körü ve standart körü olarak işaretlenen tüplere 0,5 ml destile su, diğerlerine 0,5 ml tiobarbitürık asid ilave edildi, karıştırıldı ve 40°C lik su banyosunda 30 dakika tutuldu. Bu süre sonunda su banyosundan çıkartılarak 15 dakika oda ısısında bekeltildi ve tüm tüplerin optik dansiteleri suya karşı 443 nm dalga boyunda ölçüldü.

Tüm numunelerin glikozillenme değerleri standartlar ile mukayese edilerek hesaplandı ve sonuçlar proteine oranlanarak nmol fruktoz/mg protein olarak verildi.

3.2.6. Lowry Yöntemi İle Protein Tayini(56)

Stok bakır sülfat çözeltisi, stok alkali tantırat çözeltisi ile 1:9

oranında seyreltildi. Bu çözelti günlük olarak hazırlandı. Seyretilmiş bakır sülfat çözeltisinden numune, standart ve kör olarak ayrılan tüplere 5'er ml konuldu. Numune tüplerine 0,1 ml proteini tayin edilecek numune, standart tüپüne 0,1 ml protein standart çözeltisinden (% 100 mg) ilave edildi. Kör tüپüne ise 0,1 ml destile su katıldı. Oda ısisında 15 dakika beklenedi. Bu süre sonunda tüm tüplere yarı yarıya seyretilmiş folin çözeltisinden 0,5 ml ilave edilerek tüm tüpler şiddetli olarak karıştırıldı ve 30 dakika beklenedi. 750 nm dalga boyunda köre karşı numune ve standartların optik dansiteleri ölçüldü. Numunelerin protein konsantrasyonları standart ile oranlanarak saptandı.

Nonenzimatik glikozilleme deneylerinin değerlendirilmesinde student's t formülünden yararlanıldı.

IV. BULGULAR

4.1. ELASTİN VE ÇÖZÜNÜR ELASTİN TÜREVİNE AİT BULGULAR

Sığırların aorta thoracicalarından Balo ve Banga tarafından önerilen yönteme göre elde edilen aorta tozundan bir örnek Resim 1'de, elastin tozundan bir örnek ise Resim 2'de gösterilmiştir. Aorta tozunun beyaz renkte olmasına karşın buradan saflaştırılan elastin hafif soluk sarı renk göstermektedir ve bu elastinin karakteristik görünümüne uymaktadır.

Elastinin 0,5 N HCl-ethanol içinde geri soğutucu altında 65°C'de 3,5 saat hidrolizi sonucu elde edilen berrak süzüntü Resim 3'de gösterilmiştir. Bu hidroliz işlemi ile elastinin tortu bırakmayacak şekilde çözündüğü görülmektedir.

+10°C'de eter ile çöktürülen, daha sonra destile suya karşı diyaliz edilen ve liyofilize edilerek toz haline getirilen çözünür elastin türevi Resim 4'de görülmektedir. Çözünür elastin türevinin elastine göre daha beyaz renkte olduğu gözlenmektedir.



Resim 1- Sığır aorta thoracicasından elde edilen aorta tozu



Resim 2- Sığır aorta thoracicasından elde edilen elastin tozu



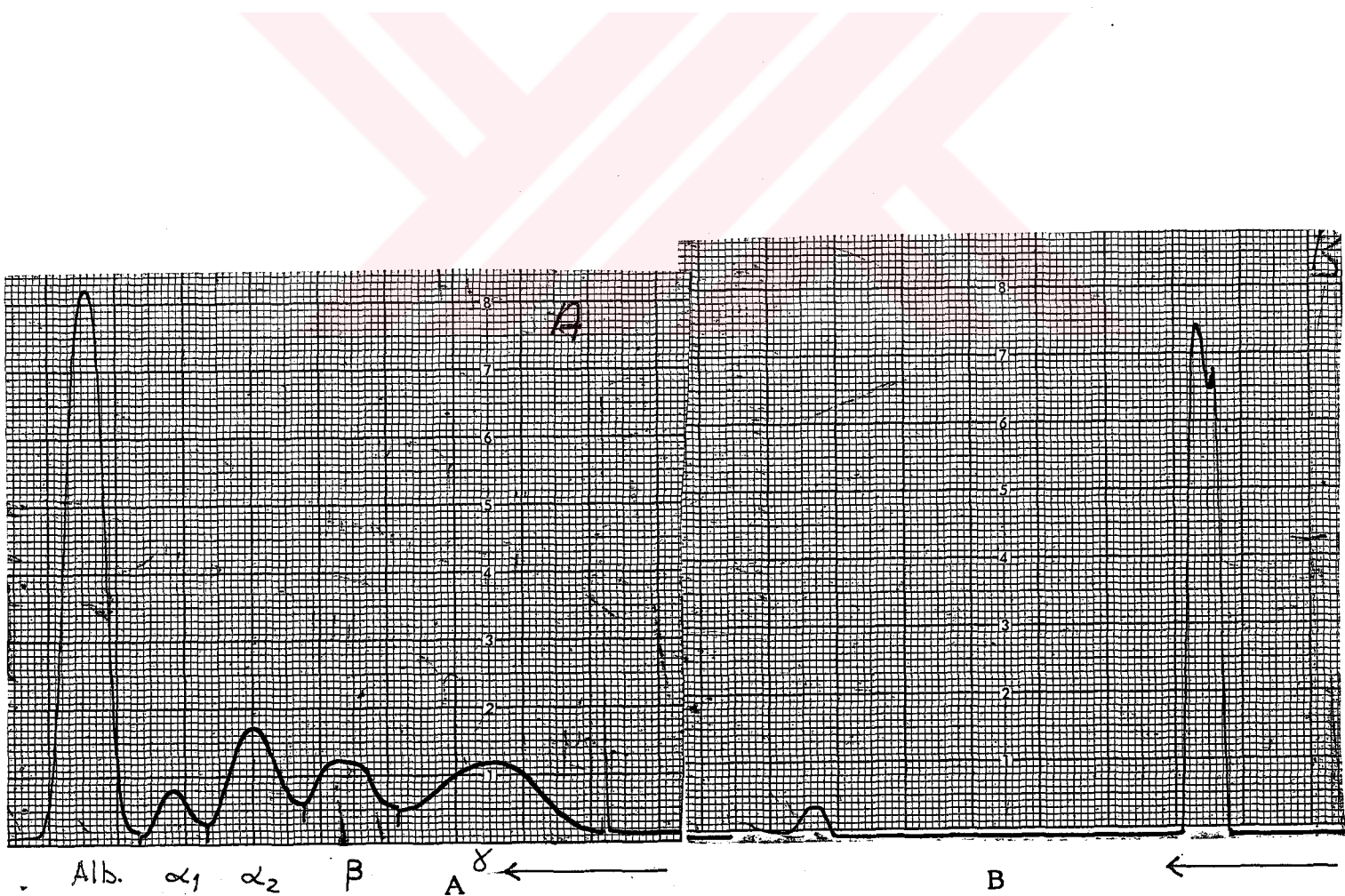
Resim 3- Elastinden 0,5 N HCl-ethanol hidrolizi ile elde edilen berrak süzüntü



Resim 4- Elastinden 0,5 N HCl-ethanol hidrolizi ile elde edilen liyofilize çözünür elastin türevi

5.2. ÇÖZÜNÜR ELASTİN TÜREVİ SELÜLOZ ASETAT ELEKTROFOREZ BULGUSU

Çözünür elastin türevinin normal insan serumu ile karşılaştırılmış olarak yapılan selüloz asetat elektroforezine ait elektroforegram Şekil 10'da gösterilmiştir. Buna göre çözünür elastin türevinde büyük fraksiyonun serum gamma globulin fraksiyonuna benzer bir mobiliteye sahip olduğu, bunun yanında ikinci bir ufak fraksiyonun ise serum albumin fraksiyonunun mobilitesine sahip olduğu görülmektedir.



Şekil 10- Normal serum ve çözünür elastin türevinin selüloz asetat elektroforezine ait elektroforegram

A: Normal serum; B: Çözünür elastin türevi

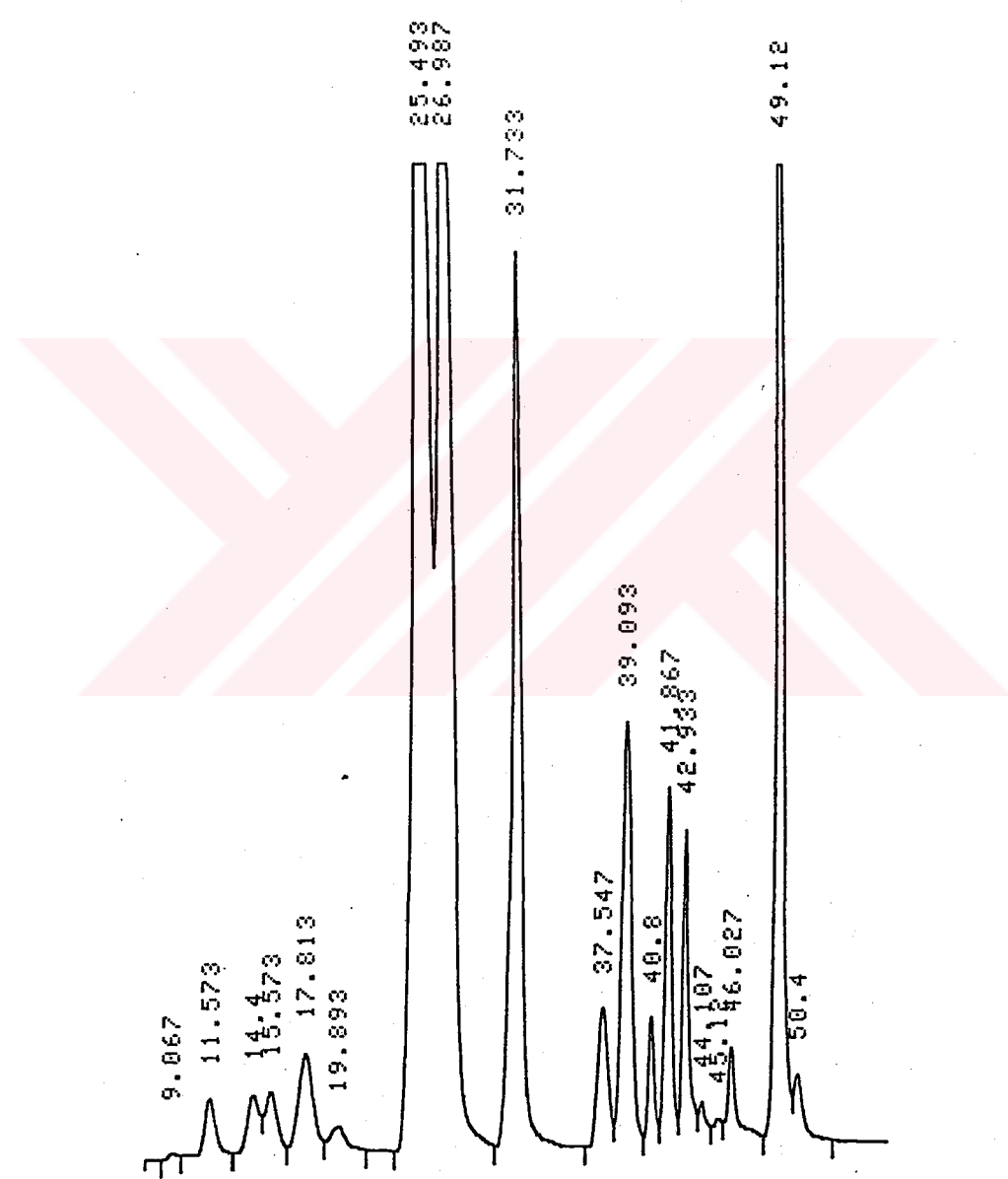
→ Proteinlerin şeritler üzerindeki yürüme yönü

5.3. ÇÖZÜNÜR ELASTİN TÜREVİNİN AMİNO ASİD İÇERİĞİNE AİT BULGU

Çözünür elastin türevinin Türkiye Bilimsel Tetkik ve Araştırma Kurumu Beslenme Bölümünde yapılan amino asid analiz sonucu Tablo 7'de gösterilmiştir. Aynı tablo'ya ait kromatogram Şekil 11'de gösterilmiştir. Tablo ve kromatogramda görüldüğü gibi total amino asidler arasında en büyük oranı glisin, alanin, lösin, prolin amino asidleri oluşturmaktadır.

Tablo 7
Çözünür Elastin Türevinin Amino Asid Bileşimi

| Amino Asid | % g |
|---------------|--------|
| Aspartikasid | 1,200 |
| Treonin | 1,108 |
| Senin | 0,938 |
| Glutamik asid | 2,700 |
| Prolin | 8,577 |
| Glisin | 21,417 |
| Alanin | 20,745 |
| Valin | 4,971 |
| İzolösin | 2,800 |
| Lösin | 10,167 |
| Tirozin | 1,772 |
| Fenilalanin | 4,971 |
| Histidin | 3,090 |
| Lizin | 1,019 |
| Arginin | 1,202 |



Şekil 11- Çözünür elastin türevi amino asid bileşimine ait kromatogram

5.4. ÇÖZÜNÜR ELASTİN TÜREVİNİN İN VİTRO NON ENZİMATİK GLİKOZİLLENME BULGULARI

Tablo 8'de çözünür elastin türevinin kontrol grubuna ait glikozillenme değerleri gösterilmiştir. 24, 48 ve 96 saatlik inkubasyonlara ait kontrol grubu değerlerinin tümü aynı tabloda gösterilmiştir.

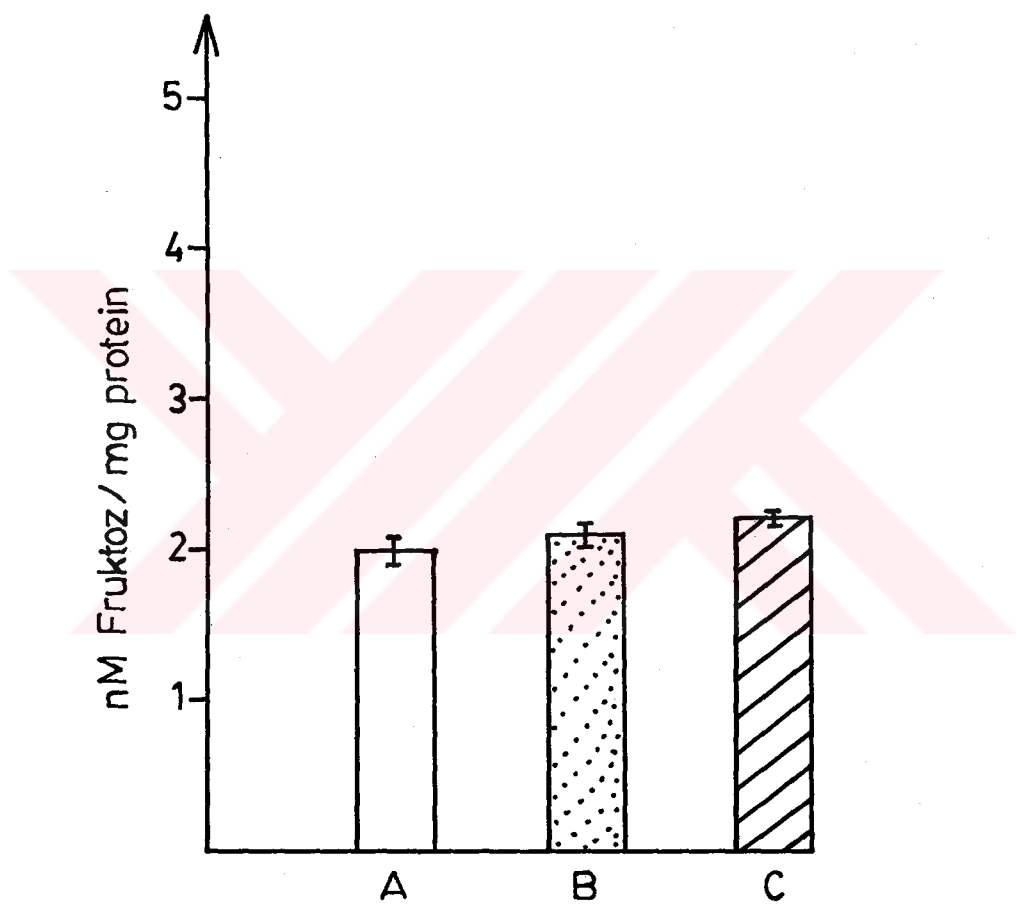
Tablo 8
Çözünür Elastin Türçyi Kontrol Grubu Glikozilenme Değerleri

| <u>n</u> | <u>nmol Fruktoz/mg Protein</u> |
|-----------|--------------------------------|
| 1 | 1,88 |
| 2 | 1,80 |
| 3 | 1,98 |
| 4 | 1,96 |
| 5 | 1,85 |
| 6 | 1,95 |
| 7 | 1,95 |
| 8 | 1,96 |
| 9 | 1,93 |
| 10 | 2,05 |
| 11 | 2,06 |
| 12 | 1,75 |
| 13 | 2,02 |
| 14 | 1,95 |
| 15 | 2,05 |
| 16 | 2,05 |
| 17 | 2,0 |
| 18 | 2,15 |
| 19 | 2,10 |
| 20 | 1,78 |
| \bar{x} | 1,96 |
| SD | ± 0,10 |

Tablo 9'da çözünür elastin türevinin 27,7 ve 55,5 mM konsantrasyonlarındaki glukoz ile 24 saat inkübasyonuna ait glikozilleme değerleri gösterilmiştir. Aynı tabloya ait değerlerin kontrol grubu ile mukayeseli histogramı Şekil 12'de gösterilmiştir. Her iki konsantrasyona ait bulguların kontrol grubu ile istatistiksel karşılaştırılımında 27,7 mM glukoz konsantrasyonunda anlamlı bir fark olmadığı ($p > 0.05$), ancak 55.5 mM konsantrasyonda ileri derecede anlamlı fark olduğu ($p < 0.01$) anlaşılmıştır. Yine her iki grubun kendi aralarında yapılan istatistiksel karşılaştırmasında da anlamlı bir fark ($p < 0.01$) bulunmuştur.

Tablo 9
Çözünür Elastin Türevinin Farklı Glukoz Konsantrasyonlarında
24 Saat İnkübasyon İle Elde Edilen Glikozilleme Değerleri
(nmol Fruktoz/mg protein)

| n | 27.7 mM Glukoz | 55.5 mM Glukoz |
|-----------|----------------|----------------|
| 1 | 2,10 | 2,20 |
| 2 | 2,06 | 2,10 |
| 3 | 1,95 | 2,15 |
| 4 | 1,98 | 2,08 |
| 5 | 2,20 | 2,12 |
| 6 | 2,15 | 2,25 |
| 7 | 1,92 | 2,22 |
| 8 | 1,90 | 2,25 |
| 9 | 2,12 | 2,30 |
| 10 | <u>2,05</u> | <u>2,18</u> |
| \bar{x} | 2,043 | 2,18 |
| SD± | 0,10 | 0,07 |



A: Kontrol grubu; B: 27,7 mM Glukoz ile inkübasyon grubu;
C: 55,5 mM Glukoz ile inkübasyon grubu

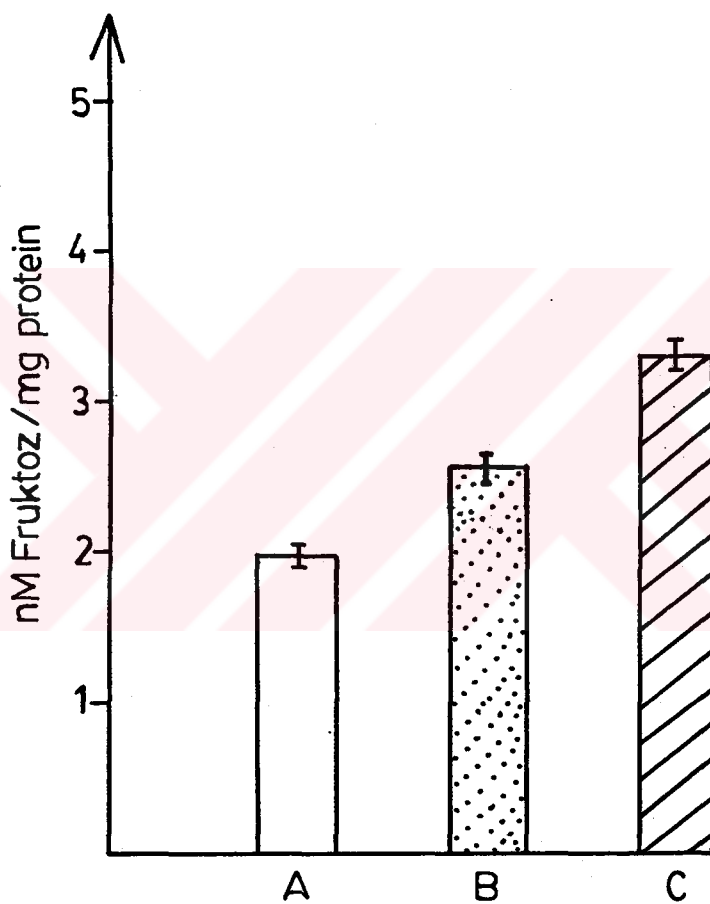
Şekil 12- Çözünür elastin türevinin farklı glukoz konsantrasyonlarında 24 saat inkübasyonu ile ielde edilen glikozilleme değerlerine ait histogram

Tablo 10'da çözünür elastin türevinin 277 ve 55.5 mM konsantrasyonlarındaki glukoz ile 48 saat inkübasyonuna ait glikozilleme değerleri gösterilmiştir. Aynı tabloya ait değerlerin kontrol grubu ile mukayeseLİ histogramı Şekil 13'de gösterilmiştir. Her iki konsantrasyona ait bulguların kontrol grubu ile istatistiksel karşılaştırılmalarında aralarında ileri derecede anlamlı bir fark olduğu ($p < 0.001$) saptanmıştır. Her iki grubun kendi aralarında yapılan istatistiksel karşılaştırmasında yine ileri derecede anlamlı bir fark bulunmuştur ($p < 0.001$).

Tablo 10

Çözünür Elastin Türevinin Farklı Glukoz Konsantrasyonlarında 48 Saat İnkübasyonu İle Elde Edilen Glikozilleme Değerleri
(nmol Fruktoz/mg protein)

| <u>n</u> | <u>2,7 mM Glukoz</u> | <u>55,5 mM Glukoz</u> |
|-----------|----------------------|-----------------------|
| 1 | 2,30 | 3,25 |
| 2 | 2,45 | 3,33 |
| 3 | 2,71 | 3,30 |
| 4 | 2,65 | 3,40 |
| 5 | 2,28 | 2,90 |
| 6 | 2,36 | 3,83 |
| 7 | 2,90 | 3,48 |
| 8 | 3,08 | 3,60 |
| 9 | 2,40 | 3,35 |
| 10 | <u>2,53</u> | <u>3,20</u> |
| \bar{x} | 2,56 | 3,36 |
| SD ± | 0,26 | 0,24 |



A: Kontrol grubu; B: 27,7 mM Glukoz ile inkübasyon grubu;
 C: 55,5 mM Glukoz ile inkübasyon grubu

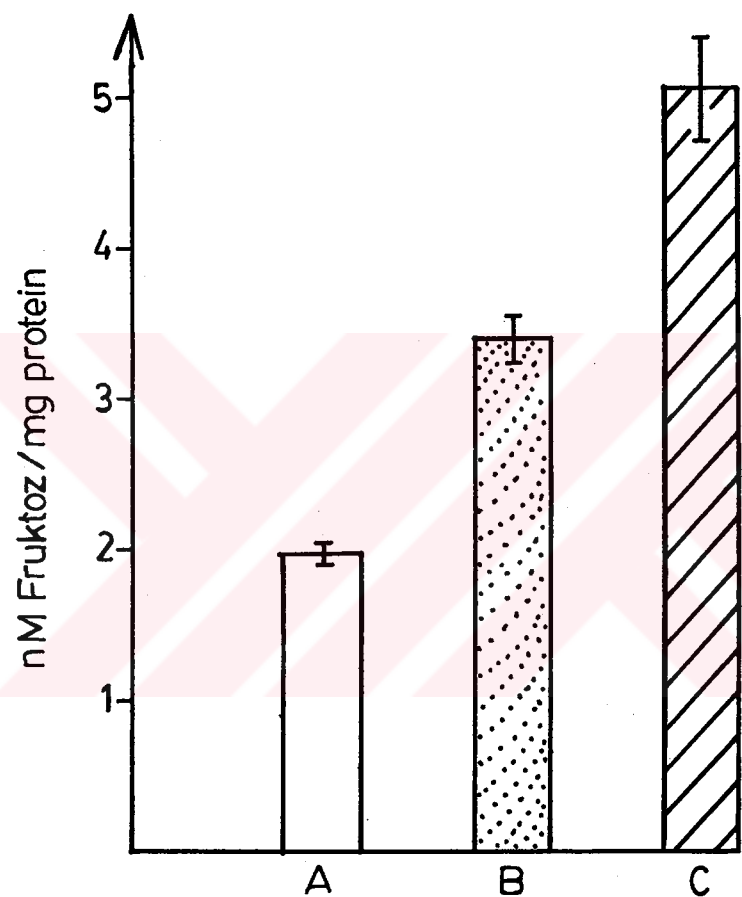
Şekil 13- Çözünür elastin türevinin farklı glukoz konsantrasyonlarında 48 saat inkübasyonu ile elde edilen glikozilleme değerlerine ait histogram

Tablo 11'de çözünür elastin türevinin 27.7 ve 55.5 mM konsantrasyonundaki glukoz ile 96 saat inkübasyonuna ait glikozilleme değerleri gösterilmiştir. Şekil 14'de aynı tabloya ait değerlerin kontrol grubu ile mukayeseli histogramı gösterilmiştir. Her iki konsantrasyona ait bulguların kontrol grubu ile yapılan istatistiksel karşılaştırmasında aralarında ileri derecede anlamlı bir fark ($p < 0.001$) saptanmıştır. Her iki grubun kendi aralarında yapılan istatistiksel karşılaştırmasında yine ileri derecede anlamlı fark vardır ($p < 0.001$).

Tablo 11

Çözünür elastin türevinin farklı glukoz konsantrasyonlarında 96 saat inkübasyonu ile elde edilen glikozilleme değerleri
(nmol Fruktoz/mg protein)

| <u>n</u> | <u>27,7 mM Glukoz</u> | <u>55,5 mM Glukoz</u> |
|-----------|-----------------------|-----------------------|
| 1 | 3,15 | 4,10 |
| 2 | 3,19 | 4,26 |
| 3 | 3,10 | 4,94 |
| 4 | 3,52 | 4,60 |
| 5 | 3,80 | 4,85 |
| 6 | 3,15 | 3,90 |
| 7 | 3,28 | 5,80 |
| 8 | 3,75 | 5,72 |
| 9 | 3,50 | 5,88 |
| 10 | <u>3,12</u> | <u>6,10</u> |
| \bar{x} | 3,35 | 5,01 |
| SD ± | 0,26 | 0,80 |

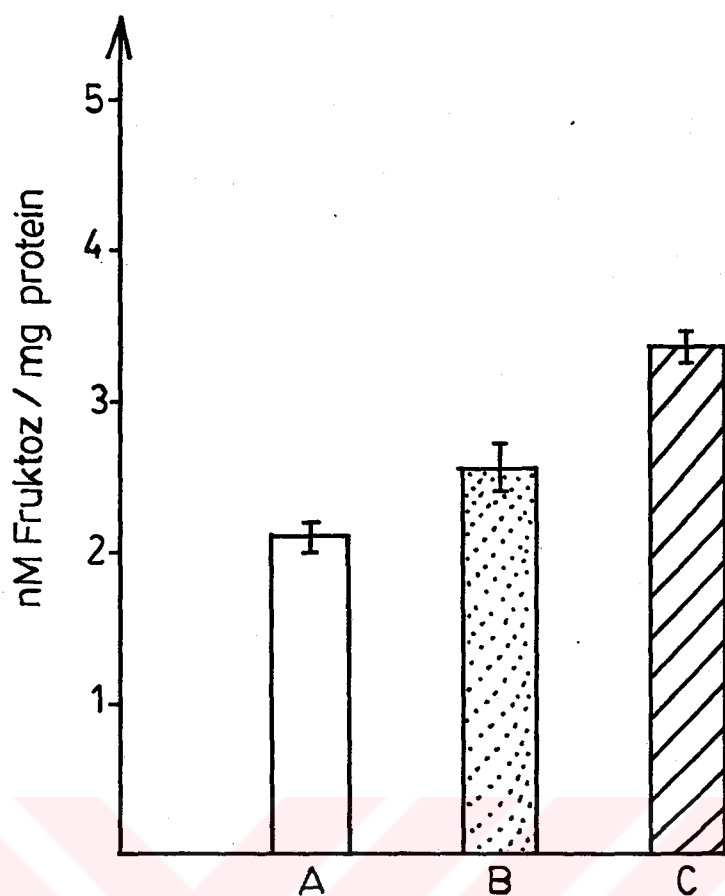


A: Kontrol Gruu; B: 27,7 mM Glukoz ile inkübasyon grubu;
 C: 55,5 mM Glukoz ile inkübasyon grubu

Şekil 14- Çözünür elastin türevinin farklı glukoz konsantrasyonlarında 96 saat inkübasyonu ile elde edilen glikozilleme değerlerine ait histogram

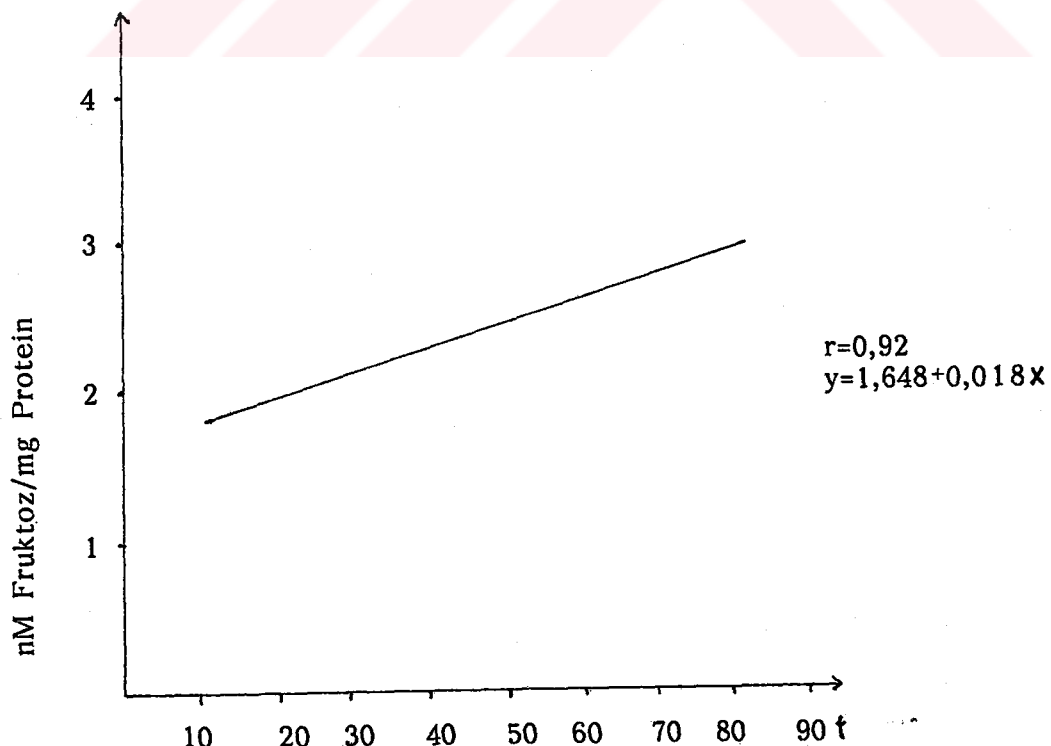
Çözünür elastin türevinin 27.7 mM glukoz konsantrasyonunda 24, 48, 96 saatlik inkübasyonlarına ait glikozillenme değerleri Şekil 15'deki histogramda birlikte gösterilmiştir. Görüldüğü gibi glikozillenme değerleri aynı glukoz konsantrasyonunda zamana göre artış göstermektedir. Her grubun kendi aralarında yapılan istatistiksel karşılaştırmalarında ileri derecede ($p < 0.001$) anlamlı fark mevcuttur. Yapılan korelasyon değerlendirmesinde 27,7 mM glukoz konsantrasyonunda 24, 48, 96 saatlerde elde edilen glikozillenme değerleri ile zaman arasında anlamlı bir ilişki bulunmuştur ($r: 0.927$). Korelasyon eğrisi Şekil 16'da gösterilmiştir.

Yine çözünür elastin türevinin 55,5 mM glukoz konsantrasyonunda 24, 48, 96 saatlik inkübasyonlarına ait glikozillenme değerleri Şekil 17'deki histogramda birlikte gösterilmiştir. Ayrı glukoz konsantrasyonunda zamana bağlı olarak artan glikozillenme değerleri burada da görülmektedir ve her grubun kendi aralarında yapılan istatistiksel karşılaştırılmasında ileri derecede ($p < 0.001$) anlamlı fark vardır. Bu konsantrasyonda glikozillenme değerleri ile zaman arasındaki korelasyon eğrisi Şekil 18'de gösterilmiştir. Korelasyon katsayısı (r) 0,922 olarak bulunmuştur ve buna göre aralarında anlamlı bir ilişki mevcuttur.

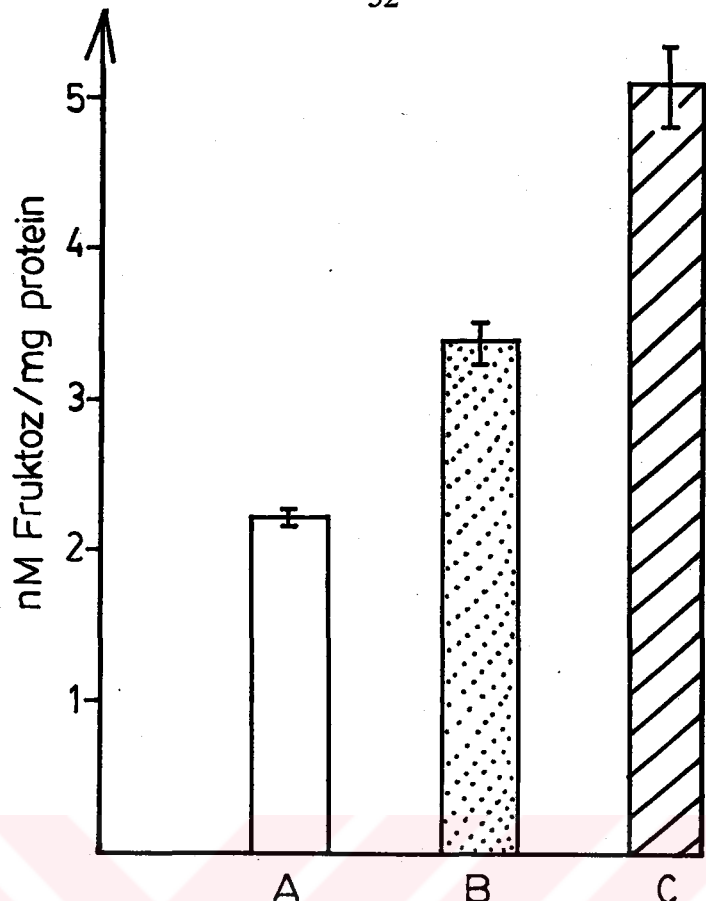


A: 24 saatlik inkübasyon grubu; B: 48 saatlik inkübasyon grubu;
C: 96 saatlik inkübasyon grubu

Şekil 15- Çözünür elastin türevinin 27,7 mM glukoz konsantrasyonunda 24, 48, 96 saatlik inkübasyonlar ile elde edilen glikozilleme değerlerine ait histogram

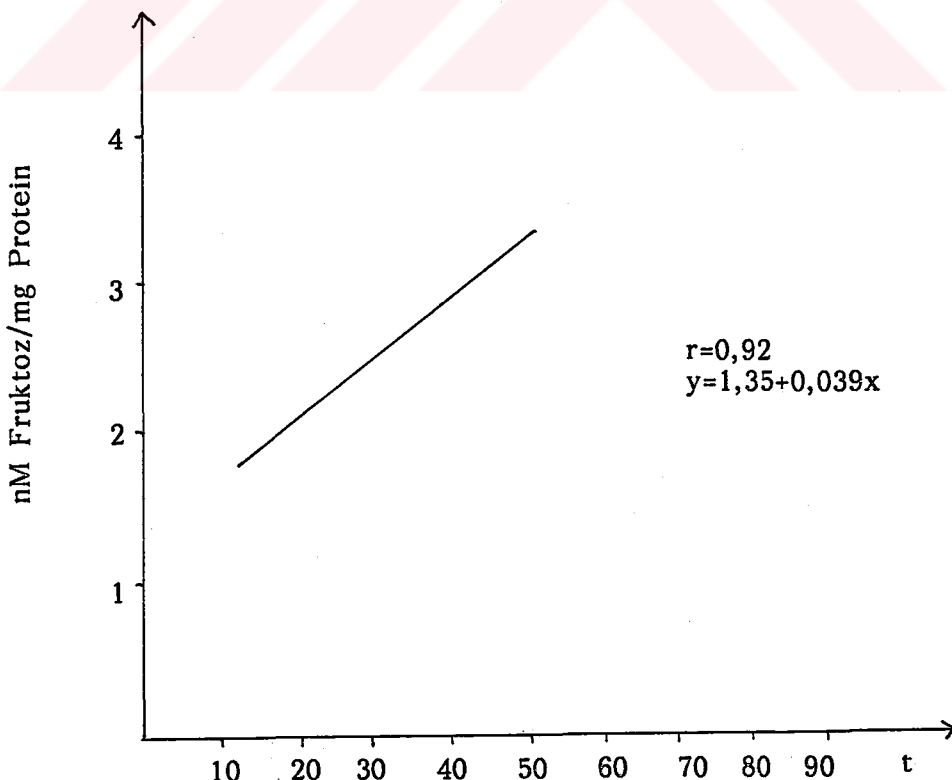


Şekil 16- Çözünür elastin türevinin 55,5 mM glukoz konsantrasyonunda 24, 48, 96 saatlik inkübasyonlarına ait glikozilleme değerleri ile zaman arasındaki korelasyon eğrisi



A: 24 saatlik inkübasyon grubu; 48 saatlik inkübasyon grubu;
C: 96 saatlik inkübasyon grubu

Şekil 17- Çözünür elastintürevinin 55,5 mM glukoz konsantrasyonunda 24, 48, 96 saatlik inkübasyonları ile elde edilen glikozilleme değerlerine ait histogram



Şekil 18- Çözünür elastin türevinin 55,5 mM glukoz konsantrasyonunda 24, 48, 96 saatlik inkübasyonlarına ait glikozilleme değerleri ile zaman arasındaki korelasyon eğrisi

V. İRDELEME VE SONUÇ

Proteinlere çeşitli karbohidratların enzim aracılığı olmaksızın bağlanması olan nonenzimatik glikozilleme çeşitli araştırmacılar tarafından organizmanın farklı protein türlerinde *in vivo* ve *in vitro* olarak incelemiştir. Bu proteinler Tablo 4'de toplu olarak gösterilmiştir. Proteinlerin nonenzimatik glikozillenmeleri onların doğal yapı ve özelliklerinde bir takım değişimlere yol açması bakımından üzerinde oldukça önemle durulan reaksiyonlardır. Biz bu çalışmamızda sığırların aorta thoracicasından elde ettiğimiz elastinin çözünür bir türevinde, literatürde benzer bir proteinle yapılmış çalışma olmayışını da dikkate alarak *in vitro* nonenzimatik glikozilleme özelliğine inceledik.

Elastin omurgalı vücutuna elastik özellik kazandıran çeşitli dokulardaki elastik lifler içinde büyük oranda bulunur. Bir skleroprotein olan elastin suda, sulu çözeltilerde çözünmez, çeşitli proteazlara, asid ve alkalilere karşı dirençlidir(82).

Biz çalışmamızda sığır aorta thoracicasından elastin elde edilmesinde Balo ve Banga tarafından(83) önerilen yöntemi uyguladık. Aortik dokudan sıcak alkali muamelesi yolu ile saf elastin eldesine dayanan bu metodun elastini büyük miktarda içeren dokularda örneğin aortada tatmin edici sonuçlar verdiği farklı araştırmacılar tarafından da doğrulanmıştır(36,40,42,52,53,76). Bizim bulgularımıza göre de elde ettiğimiz elastinin gerek makroskopik görünümü gerekse bundan elde ettiğimiz çözünür

elastin türevinin amino asid kompozisyonu (Tablo 7) bu görüşleri doğrulamaktadır.

Elastinden çözünür elastin türevinin elde edilmesinde ılımlı bir hidroliz sağlayan etanol-HCl karışımı kullanılmıştır. Bu metod derişik asid ve alkali hidrolizine oranla elastinden kendine daha yakın özelliklere sahip bir türevin elde edilmesine olanak sağlamaktadır.

Partridge ve arkadaşları(63) elastinden 0,25 M oksalik asid ile 100° de hidroliz yöntemi uygulayarak α ve β elastin adı verilen iki çözünür türev elde etmişlerdir.

Bizim etanol-HCl karışımı kullanarak elde ettiğimiz çözünür türevin normal serum proteinleri ile yapılan mukayeseli selüloz asetat elektroforezinde, büyük oranının serumun gamma globulin mobilitesine sahip olduğu, ufak bir kısmının ise serum albumin mobilitesinde olduğu görülmektedir. Elektroforezde düşük bir mobiliteye sahip olması ayrıca ilerde bahsedeceğimiz gibi in vitro nonenzimatik glikozillenme deneyleri esnasında yarı doymuş amonyum sülfat içinde çökmesi molekül ağırlığının yüksek olduğu düşüncesini desteklemektedir.

Cözünür elastin türevinin içeriği aminoasidler ile "intakt" elastinin içeriği amino asidler Tablo 12'de karşılaştırmalı olarak gösterilmişdir.

Tabloda da görüldüğü gibi çözünür elastin türevinin amino asid içeriği elastinle büyük oranda benzerlik göstermektedir. Bazı amino asitlerin yüzdelerinde görülen ufak farklılıkların ise elastinden çözünür elastin türevinin elde edilmesi esnasında uygulanan yöntemlere bağlı olabileceği düşünülmektedir. Ayrıca elastinin amino asid içeriği elde edildiği kaynağa ve kullanılan yönteme göre de farklılıklar göstermektedir.

Tablo 12
 Elastin İle Çözünür Elastin Türevinin
 Karşılaştırmalı Amino Asid Bileşimi
 (g/100 g)

| Amino Asid | Elastin ⁽⁴⁾ | Elastin | Çözünür Elastin Türevi |
|-----------------------------------|------------------------|---------|---------------------------|
| I. Hidrofil amino asitler | | | |
| Aspartik asid | 1,06 | 1,0 | 1,20 |
| Glutamik asid | 2,76 | 2,4 | 2,70 |
| Lizin | 0,97 | 1,1 | 1,01 |
| Arjinin | 0,12 | 0,8 | 1,20 |
| Histidin | 0,02 | 0,1 | 3,09 |
| Serin | 0,85 | 1,0 | 0,93 |
| Treonin | 0,94 | 1,0 | 1,18 |
| Tirozin | 6,35 | 1,8 | 1,77 |
| II. Hidrofob amino asidler | | | |
| Alanin | 19,48 | 22,2 | 20,74 |
| Valin | 19,28 | 16,7 | 4,97 |
| Izolösin | 2,91 | 3,8 | 2,8 |
| Lösin | 8,49 | 9,0 | 10,16 |
| Metiyonin | 0,09 | - | - |
| Prolin | 14,14 | 14,0 | 8,57 |
| Fenilalanin | 5,63 | 5,3 | 4,97 |
| Glisin | 24,98 | 26,8 | 21,41 |

Yine Tablo 12'de çözünür elastin türevi amino asid bileşimiinin % 73,62'ünü hidrofob amino asitlerin, % 13,08'si hidrofil amino asidlerin oluşturduğu görülmektedir.

Cözünür elastin türevinin in vitro nonenzimatik glikozillenme yöntemi bu konuda daha önce yaptığımız deneyler dikkate alınarak geliştirildi. Yöntem çözünür elastin türevinin in vitro nonenzimatik glikozillenmesinde, glukoz konsantrasyonu ve zamanın etkileri birlikte incelenebilecek şekilde düzenlendi.

Glikozillendirme işlemi sırasında çözünür elastin türevinin çözünmüş halde olduğu tampondan çöktürülerek uzaklaştırma işleminde, en çok kullanılan tekniklerden biri olan yüksek tuz konsantrasyonlarında çöktürme işlemi uygulandı. Çöktürmede kullanılan tuzların etkinliği anyonun yükü ile ilgiliidir ve en çok sülfat, fosfat ve sitrat tuzları kullanılır. Katyonun cinsi daha az etkili ise de bir değerlikli tuzların kullanılması tercih edilir. Etkinlik sırası $\text{NH}_4^+ > \text{K}^+ > \text{Na}^+$ dir. Bu durum dikkate alınarak çöktürme işlemi için amonyum sülfat kullanıldı. Amonyum sülfatın diğer bir avantajı da proteinleri stabilize etmesidir.

Cöktürme işlemi ile geri elde edilen proteinin başta kullandığımız protein imktarını % 70-0 oranında olduğu tespit edildi. Aradaki farkın amonyum sülfat ilavesi ile çökmeyen kısım "ki bu selüloz asetat elektroforezinde görülen ve serum albumin mobilitesine sahip olan fraksiyon olabilir" ile dializ esnasında kaybedilebilen kısımdan alabileceği düşünülmüştür.

Cözünür elastin türevinin glikozillenme değerlerinin ölçüldüğü kolorimetrik yöntem Parker ve arkadaşları tarafından geliştirilmiştir. Yöntem her tür proteinin glikozillenme düzeyinin tayininde kullanılmaya uygundur.

Elde ettiğimiz bulgular çözünür elastin türevinin in vitro nonenzimatik glikozillenmeye müsait bir protein olduğunu göstermektedir. Glikozillenme düzeyinin ortamın glukoz konsantrasyonuna ve zamanına bağlı

olarak arttığı gözlenmiştir. Bu bulgu araştırmacılar tarafından organizmanın çeşitli proteinlerinde yapılan *in vitro* non enzimatik glikozillenme deneyleri ile saptanan sonuçlara uymaktadır(12).

Proteinlerin *in vitro* nonenzimatik glikozillenmeleri üzerinde ayrıca ortamın pH'sı temperatüründe etkili olduğu bilinmektedir. Biz çalışmamızda fizyolojik bir pH olan 7.4 ve yine fizyolojik bir temperatür olan 37° yi uygun görerek uyguladık.

Bağ dokusu proteinleri ile ilgili nonenzimatik glikozillenme araştırmalarının daha ziyade kollajen üzerinde yoğunlaştığı görülmektedir(22,43,51,68,73,84,106). Literatürde *in vitro* nonenzimatik glikozillenme ile ilgili olarak "intakt" elastinle yapılan az sayıda çalışma vardır(17,18,61). Bu çalışmalarla "intakt" elastinin *in vitro* nonenzimatik glikozillenmesinde anlamlı sonuçların uzun bir zaman sürecinde alınabildiği anlaşılmıştır. Biz elastinden elde ettiğimiz çözünür elastin türevinin intakt elastine oranla çok daha kısa sürede ve daha yüksek oranda glikozilenebildiğini ortaya koyduk.

Bu bulgu elastine oranla elastinden oluşan türev ürünlerin daha kolay glikozillenebildiğini göstermektedir. Bu durum elastin yıkımının artmış olduğu organizmalarda etkili olabilir. Elastin yıkımı ile oluşacak elastin türevi peptidlerin nonenzimatik glikozillenmeye uğramalarının kendilerine karşı organizmada otoantikor yapımına ya da yapımın artmasına yol açabileceği düşünülebilir. Yapılan çalışmalarla nonenzimatik glikozillenen proteinlerin antijenik özellik kazanarak oto antikor oluşumuna neden oldukları saptanmıştır(11,96).

Sonuç olarak biz bu çalışmada elastinden etanolü-HCl hidrolizi ile elde ettiğimiz çözünür elastin türevinin *in vitro*nonenzimatik glikozilenebildiğini, glikozillenme düzeyinin glukoz konsantrasyonu ve zamana bağlı olarak arttığını saptamış bulunuyoruz.

ÖZET

Proteinlerin nonenzimatik glikozillenmesi özellikle son yıllarda üzerinde önemle durulan bir reaksiyondur. *In vivo* ve *In vitro* ortamlarda meydana gelebilen bu olay çeşitli araştırmacılar tarafından organizmanın farklı proteinlerinde incelenmiştir. Biz bu çalışmada su ve sulu ortamlarda çözünmeyen bir skleroprotein olan elantinden elde ettiğimiz çözünür elastin türevinin *in vitro* nonenzimatik glikozillenme özelliğini inceledik.

Çalışmamızda elastin sığır aortasından Balo ve Banga tarafından önerilen yöntemle izole edildi. Elastin 0,5 N HCl-ethanol çözeltisinde 3,5 saat 65°C de hidroliz edilerek suda ve sulu ortamlarda çözünebilen bir türev protein elde edildi. Bu çözünür elastin türevinin selüloz asetat elektroforezi biri büyük diğeri çok küçük iki fraksiyondan olduğunu, büyük fraksiyonun serum gammaglobulin, küçük fraksiyonun ise serum albumin mobilitesine sahip olduğunu gösterdi. Yine yapılan amino asid analizi amino asid bileşiminin büyük oranda elastinle uyum içinde olduğunu ortaya koydu.

Cözünür elastin türevinin *in vitro* nonenzimatik glikozillenme özelliği gerçekleştirilen ön deneylerce saptanan bir yönteme göre incelendi. Buna göre çözünür elastin türevi, pH:7.4 olan ve 27.7 mM ile 55.5 mM konsantrasyonunda glukoz içeren iki farklı fosfat tamponu içinde 24, 48 ve 96 saat sürelerle 37°C de inkübe edildi. Kontrol deneyleri glukoz içermeyen fosfat tamponu kullanılarak gerçekleştirildi. Çözünür elastin türevi-

nin glikozillenme değerleri Parker ve arkadaşları tarafından önerilen yönteme göre kolorimetrik olarak saptandı. Bu yöntem glikozillenmiş hemoglobin dahil tüm proteinler için kullanılabilme özelliğini taşımaktadır.

Elde edilen bulguların sonuçları, çözünür elastin türevinin ortamın glukoz konsantrasyona ve zamana bağlı olarak *in vitro* nonenzimatik glikozillenme özelliği gösterdiğini ortaya koymuştur.

SUMMARY

The nonenzymatic glucosylation of proteins is a reaction that has been followed up with interest in the last years. This reaction which may be produced in vivo and in vitro medias, has been examined by many investigators in different proteins of the organism.

In this study we investigated, the in vitro nonenzymatic glucosylation characteristic of soluble elastin derivative, we have obtained from elastin, a scleroprotein which is insoluble in water and aqueous solution.

In our study, elastin has been isolated from bovine aorta thoracica with the procedure Balo and Banga. We had hydrolyzed elastin for 3,5 hours at 65°C in 0,5 NHCl-ethanol solution and obtained a protein derivative which is soluble in water and aqueous solutions.

The cellulose acetate electrophoresis of this soluble elastin derivative showed that it was composed of two fractions, one is big and the other is too small. The big fraction has gammaglobuline and the small fraction has serum albumin mobility. In addition to that the amino acid analysis showed that, amino acid composition was in a harmony with elastin.

The in vitro nonenzymatic glucosylation property of soluble elastin derivative was investigated in respect to a method that was determined with recent experiments. In this method, the soluble elastin derivative was

incubated in 37°C for 24, 48 and 96 hours intervals, in two different phosphate buffers which possess 27,7 mM and 55,5 mM glucose respectively and in pH: 7.4. The glycosylation values of the soluble elastin derivative was determined colorimetrically according to the method suggested by Parker et all. This method can be used for all proteins including glucosylated hemoglobin.

The results of our findings showed that the soluble elastin derivative exhibited an in vitro nonenzymatic glycosylation characteristic according to the glucose concentration of the media and time.

K A Y N A K L A R

- 1- Aswar,R.A.: Elastin and Elastic tissue. Plenum, New York, p:329, 1977.
- 2- Auron,B.B., Gosline,J.M.: Optical properties of single elastin fibers indicate random protein conformation. Nature, 287(5785):865-867, 1980.
- 3- Baban,N.: Protein Biokimyası. Nazım Terzioğlu Araştırma Enstitüsü, s.47-48, 58, 1980.
- 4- Baban,N., Güner,G.: Amino acid composition of Bovine Aortic Elastin and its Soluble Derivative. Balkan Biochemical and Biophysical days, İstanbul, 1981.
- 5- Bağcı,H.: Protein zincir dizisi analizi. Protein Yapısı ve Fonksiyonu, editör, A.Telponcu, s.128-130, 1988.
- 6- Banda,M.J., Clark,E.J., Werb,Z.: Limited proteolysis by macrophage elastase inactivates human alpha-1- proteinase inhibitör. J.Exp.Med., 152(6):1563-1570, 1980.

- 17- Candan,G., Baban,N., Ahbap,E.: Elastinin in vitro glikozillenmeleri. Biokimya dergisi kongre özel sayısı, XII(2): 183, 1987.
- 18- Candan,G., Baban,N., Civelek,S., Ahbap,E.: Proteinlerin nonenzimatik glikozillenmeleri üzerine ZnCL₂'nin etkileri. Cerrahpaşa Tıp Fak. Dergisi. 1989 (baskıda).
- 19- Cantor,J.O., Keller,S., Parshley,M.S., Darnule,T.V., Darnule,A.T., Cerreta,J.M., Turino,G.M., Mandl,I.: Synthesis of crosslinked elastin by in endothelial cell culture. Biochem.Biophys. Res. Common, 95(4):1381-1386, 1980.
- 20- Charles,W.: The micro structure of collagen and elastin. Ear Nose and Throat Journ. 66:431-435, 1987.
- 21- Cicila,G., May,M., Goldstein,N., İndik,Z., Morow,S., Yeh,H.S., Rosenbloom,J., Yoon,K.: Structure of the 3' portion of the bovine elastin gene. Biochemistry, 24(13):3075-3080, 1985.
- 22- Cohen,M.P., Urdaniva,E., Surma,M.: Nonenzymatic glycosylation of basement membranes. In vitro Studies. Diabetes, 30:367-371, 1981.
- 23- Coradello,H., Lubec,G., Pollah,a., Sternberg,M.: Enzyme activities of native non-enzymatically glycosylated trypsin, chymotrypsin and papain. Pediatr.Patol, 17:457-464, 1982.
- 24- Davidson,J.M., Hill,K.E., Mason,M.L., Giro,M.G.: Longitudinal gradients of collagen and elastin gene expression in the porcine aorta. J.Biol.Chem. 260(3): 1901-1908, 1985.
- 25- Davidson,J.M., Smith,K., Shihara,S., Tolstoshev,P., Crystal,R.G.: Regulation of elastin synthesis in developing sheep nuchae ligament by elastin mRNA levels. J.Biol.Chem.257(2): 747-754, 1982.

- 7- Banga,I., Balo,J., Horvath,M.: Nephelometric determination of elastase activity and method for elastoproteolytic measurements. *Biochem.J.*, 71:544-551, 1959.
- 8- Biotronik Wissenschaftliche Geräte GmbH Hand book. LC 5001, 1983.
- 9- Bird,T.A., Levene,C.I.: Lysyl oxidase: evidence that pyridoxal phosphate is a co factor. *Biochem Biophys. Res. Common.*, 108(3): 1172-1180, 1982.
- 10- Brownlee,M., Cerami,A., Vlassara,H.: Advanced glycosylation and product in tissue and the biochemical basis of diabetic complications. *N.Eng.J.Med.*, 318(20): 1315-1321, 1988.
- 11- Brownlee,M., Vlassara,H., Cerami,A.: Nonenzymatic reduces the susceptibility of fibrin to degradation by plasmin. *Diabetes*, 32:630-634, 1983.
- 12- Brownlee,M., Vlassara,H., Cerami,A.: Nonenzymatic glycosylation on the pathogenesis of diabetic complications. *Ann.Intern.Med.*, 101:527-537, 1984.
- 13- Bunn,H.F., Higgins,P.J.: Reactions of monosaccharides with proteins. Possible evolutionary significance. *Science*, 213:222-224, 1981.
- 14- Burnett,W., Eichner,R., Rosenbloom,J.: Correlation of functional elastin messenger ribonucleic acid levels and rate of elastin synthesis in the developing chick aorta. *Biochemistry*, 19(6): 1106-1111, 1980.
- 15- Burret,A.J., Mc Donald,J.K.: Mammalian proteases. Endopeptidases. Vol.1. Academic. Press. New York, 1980.
- 16- Candan,G.: Proteinlerin nonenzimatik glikozillenmeleri. Editör: Hati-
mi,H., Diabetes Mellitus, 117-125, 1988.

- 26- Davis,N.R., Anwar,R.A.: On the mechanism of formation of desmosine and isodesmosine Cross-links of elastin. J.Amer.Chem.Soc., 92:3778-3781, 1970.
- 27- Eble,A.S., Thorpe,S.R., Bagne,J.W.: Nonenzymatic glucosylation and glucose dependent cross-linking of protein. J.Biol.Chem., 258:9406-94112, 1983.
- 28- Eyre,D.R., Paz,M.A., Gallop,P.M.: Cross-linking in collagen and elastin. Ann.Rev.Biochem., 53:717-748, 1984.
- 29- Fahrenbach,W.H., Sandberg,L.B., Cleary,E.G.: Ultra structural studies on early elastogenesis. Anal.Rec., 155:563-575, 1986.
- 30- Firat,P.A.: Nonenzymatic browning-products physiologic effects and metabolic transit in relations to chemical structure a review. Diabetes, 31:22-28, 1982.
- 31- Foster,J.A., Bruenger,E., Gray,W.R., Sandberg,L.B.: Isolation and amino acid sequences of tropoelastin peptides. J.Biol.Chem., 248:2876-2879, 1983.
- 32- Foster,J.A., Mecham,R.P., Franzblau,C.: A high molecular weight species of soluble elastin. Biochem.Biophys.Res. Commun, 72: No.4, 1399-1406, 1976.
- 33- Foster,J.A., Rick,C.B., Fletcher,S., Karn,S.R., Desa,M.D., Oliver,T., Przybyla,A.: Elastin biosynthesis in chick embryonic lung tissue. Comparison to chick aortic elastin. Biochemistry, 20(12): 3528-3535, 1981.
- 34- Foster,J.A., Rich,L.B., Fletcher,S., Karr,S.R., Przybyla,A.: Translation of chick aortic elastin messenger ribonucleic acid. Comparison to elastin synthesis in chick aorta organ culture. Biochemistry, 19(5): 857-864, 1980.

- 35- Foster,J., Rich,C.B., Florini,J.R.: Insulin-like Growth factor I,Somatomedin,C., Induces the synthesis of Tropoelastin in aortic tissue. Collagen Rel.Res. 7:161-169, 1987.
- 36- Fromageout,H.P.M., Slusarek,M.S.: Removal of adsorbed elastase from partially digested elastin. Biochem.J., 155:705-707,1976.
- 37- Garlich,R.C., Muzer,J.S.: The principal site of nonenzymatic glycosylation of human serum albumin in vivo. J.Biol.Chem: 258:6142-6146, 1983.
- 38- Garlich,R.C., Muzer,J.S., Higgins,P.J., Bunn,H.F.: Characterization of glycosylated hemoglobins: relevance to monitoring of diabetic control and analysis of other proteins. J.Clin.Invest., 71:1062-1072, 1983.
- 39- Gonen,B., Baenziger,J., Schunfeld,G., Jacobson,D., Farrar,P.: Nonenzymatic glycosylation of lowdensity lipoproteins in vitro effects on cell-interactive properties. Diabetes, 30:875-878, 1981.
- 40- Gotte,L., Stern,P., Elsden,D.F., Partridge,S.M.: The chemistry of connective tissues. The composition of elastin from three bovine tissues. Biochem.J., 87:344-351, 1963.
- 41- Grant,R.A.: Variations in the amino acid composition of aortic elastin from different species. Brit.J.Exp.Path., 47:163-167, 1966.
- 42- Greenle,T.K., Ross,R., Hartman,J.L.: The fine structure of elastic fibers. J.Cell.Biol., 30:59-71, 1966.
- 43- Guitton,J.D., Le Pape,A., Sizaret,P.Y., Muh,J.P.: Effects of in vitro N-glucosylation on type-I collagen fibrillogenesis. Biosci.Rep., 1:945-954, 1981.

- 44- Hall,D.A.: The fibrous components of connective tissue with special reference to the elastic fiber. Intern.Rev.Cytol., 8:211-256, 1959.
- 45- Hall,D.A., Czernkawski,J.W.: The reaction between elastase and elastic tissue. 4.Soluble elastins. Biochem.J., 80:121-128, 1961.
- 46- Janoff,A., Scherer,J.: Mediators of inflammation in leukocyte lysosomes. VII. observations on mast cell-rupturing agents in different species. Lab.Invest.18:196-202, 1968.
- 47- Jimenez,S., Harsch,M., Rosenbloom,J.: Hydroxyproline stabilizes the triple helix of chick tendon collagen. Biochem.Biophys.Res.Commun, 52, 106-114, 1973.
- 48- Kelly,R.E., Rice,R.V.: Abductin: A rubber like protein from the internal triangular hinge ligament of pecten. Science, 155:208-210, 1967.
- 49- Kennedy,L., Ragnes,W.: Nonenzymatic glycosylation and the chronic complications of diabetes.An overview. Dibatologia, 26:93-98, 1984.
- 50- Kirschenbaum,D.M.: Glycosylation of proteins: It's implications in diabetic control and complications. Ped.Clin.North.Am. 31(3):611-621, 1984.
- 51- Kohr,R.R., Cerami,A., Monnier,V.M.: Collagen aging in vitro by nonezymatic glycosylation and browning. Diabetes, 33:57-59, 1984.
- 52- Labella,F.S.: Studies on the soluble products released from purified elastic fibers by pancreatic elastase. Arch.Biochem.Biophys., 93:72-79, 1961.
- 53- Labella,F.S., Vivian,S.: Amino acid composition of elastin in the developing human aorta. Biochem.Biophys.Acta. 133:189-194, 1967.

- 54- Lansing,A.I.: Chemical morphology of elastic fibers. Transsecon^d Conf. New York, 45-86, 1951.
- 55- Lloyd,D.J., Garrod,M.: The rubber like condition of the fibers of animal skin.J.Soc.Dyers.Col. Sympon Fibrous Proteins, 24-29, 1946.
- 56- Lowry,O.H., Rosebrough,N.S., Farr,A.L., Kandall,R.S.: Protein measurement with the folin phenol reagent. J.Biol.Chem., 193:265-275, 1951.
- 57- Means,G.E., Chang,M.K.: Non enzymatic glycosylation of proteins. Glycosylation and function changes. Diabetes, 31:1-4, 1982.
- 58- Mecham,R.P.: Effects of extracellular matrix upon elastogenesis. Connect. Tissue.Res., 8(3-4):241-244, 1981.
- 59- Nishiro,N., Powers,J.C.: Pseudomanos aeruginosa elastase. Development of a new substrate, inhibitors, and an affinity ligand. J.Biol.Chem., 255(8):3482-3486, 1980.
- 60- Oimomi,M., Nakamichi,T., Ohan,T., Sakai,M., Igaki,N., Hata,F., Baba,S.: Fructose related glycation. Diabetes Resarch and. Clinical practice., 7:137-139, 1989.
- 61- Özkök,E.: Elastinin nonenzimatik glikozillenmesinin 60 günlük inkü-basyon süresince incelenmesi. Yük.Lis. Tezi, İstanbul, 1990.
- 62- Parker,M.K., England,J.D., Costa,J.D., Hess,R.C., Goldstein,D.E.: Improved colorimetric assay for glycosylated hemoglobin Cein.Chem. 27(5): 669-672, 1981.
- 63- Partridge,S.M., Davis,H.F.: The cehimstry of connective tissues. II.- Soluble protein derived from partial hydrolysis of elastin. Bioc-hem.J., 61:11-21, 1955..

- 64- Partridge,S.M., Elsden,D.F., Thomas,J.: Constitution of the cross-linkages in elastin. *Nature*, 197:127-128, 1963.
- 65- Partridge,S.M., Elsden,D.F., Thomas,J., Dofma,A., Telser,A., Peilee,H.: Biosynthesis of the desmosine and iso desmosine cross-bridges in elastin. *Biochem.J.*, 93:30-33, 1964.
- 66- Partridge,S.M., Elsden,D.F., Thomas,J., Darfman,A., Telser,A., Peilee,H.: Incorporation of labelled lysine in to the desmosine cross-bridges in elastin. *Nature*, 209:399-400, 1966.
- 67- Peratz,M.F.: Regulation of oxygen affinity of hemoglobin. *Annu.Rev.Biochem.*, 48:327-386, 1979.
- 68- Perejda,A.J., Zaragoza,E.J., Eriksen,E., Vitto,S.: Nonenzymatic glucosylation of lysyl and hydroxylysyl residues in type I and type II collagens. *Collagen. Rel.Res.*, 4:427-439, 1984.
- 69- Qintarelli,G., Starcher,B.C., Vocaturo,A., Di Gianfilipo,F., Gotte,L., Mecham,R.P.: Fibrogenesis and biosynthesis of elastin in cartilage. *Connect.Tissue.Res.* 7(1):1-19, 1979.
- 70- Rawn,J.D.: Biochemistry. Neil Patterson Publishers, burlington, North Carolina, 878-887, 1989
- 71- Richards,A.N., Gies,W.J.: Chemical studies of elastin. Mucoid and other proteids in elastic tissue, with some notes on ligament extractives. *Am.J.Physiol.*, 7:93-134, 1902.
- 72- Robert,L., Robert,B., Robert,A.M.: Molecular biology of elastin and related to aging and atherosclerosis. *Exp.Geront.*, 5:339-356, 1970.
- 73- Rosenberg,H., Modrak,J.B., Hassing,J.M.: Glycosylated collagen. *Biochem. Biophys. Res. Commun.* 91:498-501, 1979.

- 74- Ross,R., Bornstein,P.: Elastic fibers in the body. *Sci. Am.* 224:44-50, 1971.
- 75- Ross,R., Burnstein,P.: The elastic fiber. I.The separation and partial characterization of its macromolecular components. *J.Cell.Biol.*, 40:366-381, 1969.
- 76- Rosenbloom,J.: Elastin: An overview. *Methods in Enzymology*, 144:172-196, 1987.
- 77- Rosenbloom,J., Cywinski,A.: Inhibition of proline hydroxylation does not inhibit secretion of tropoelastin by chick aorta cells. *FEBS lett.*, 65(2):246-250, 1976.
- 78- Rosenbloom,J., Harsch,M., Jimenez,S.: Hydroxyproline content determines the denaturation temperature o chick tendon collagen. *Arch.Biochem.Biophys.*, 158:478-484, 1973.
- 79- Sandberg,L.B., Soskel,N.T., Leslie,J.G.: Elastin structure, biosynthesis and relation to disease states. *N.Eng.J.Med.* 304(10), 565-579, 1981.
- 80- Sandberg,L.B., Weissman,N., Gray,W.R.: Structural features of tropo elastin related to the sites of cross-links in aortic elastin. *Biochemistry*, 10:52-56, 1971.
- 81- Sandberg,L.B., Weissman,N., Smith,W.: The purification and partial characterization of a soluble elastin-like protein from copper-deficient porcine aorta. *Biochemistry*, 8:2940-2945, 1969.
- 82- Sandberg,L.B., Zeikus,R.D., Coltrain,I.M.: Tropoelastin purification from copper-deficient swine: a simplified method. *Biochim. Biophys. Acta.*, 236:542-545, 1971.
- 83- Saunders,N.A., Grant,M.E.: The secretion of tropoelastin by chick embryo artery cells. *Biochem.J.*, 230:217-225, 1985.

- 84- Schnider,S.L., Kohn,R.R.: Effects of age and diabetes mellitus on the solubility and nonenzymatic glucosylation of human skin collagen. J.Clin.Invest.67:1630-1635, 1981.
- 85- Sear,H.J., Kewley,M.A., Jones,J.D., Grant,M.E., Jackson,D.S.: The identification of glycoproteins associated with elastic -tissue microfibrils. Biochem.J., 170:715-718, 1978.
- 86- Serafini,A., Ventrella,G., Field,M.J., Hinnil,S., Griffths,R.: Characterization of a structural glycoprotein from bovine ligamentum nuchae exhibiting dual amine oxidase activity. Biochemistry, 20(19):5424-5429, 1981.
- 87- Shadwick,R.E., Gosline,J.M.: Elastic arteries in vertebrates: Mechanics of the octopus aorta. Science, 213(4509): 759-761, 1981.
- 88- Siegel,R.C.: Lysyl oxidase. Int.Rev.Connect. Tissue Res., 8:73-118, 1979.
- 89- Silverstein,S.C., Steinman,R.M., Cohnz,A.: Endocytosis. Annu.Rev.Biochem., 46:669-722, 1977.
- 90- Smith,D.W., Brown,D.M., Carnes,W.H.: Preparation and properties of salt soluble elastin J.Biol.Chem., 247:2427-2432, 1972.
- 91- Smith,D.W., Wieissman,N., Cornes,H.: Cardiovascular studies an copper deficient swine. XII Partial purification of a soluble protein resembling elastin. Biochem. Biophys. Res. Commun. 31:309-315, 1968.
- 92- Snider,R., Faris,B., Verbitzki,U., Mascaritolo,R., Salcedo,L.L., Franzblou,C.: Elastin biosynthesis and cross-link formation in rabbit aortic smooth muscle cell cultures. Biochemistry, 20(9):2614-21618, 1981.

- 93- Stevens,V.J., Rovzer,L.A., Monnier,U.M., Cerami,A.: Diabetic cataract formation: potential role of glycosylation of lens crystallins. Proc.Natl.Acad.Sci., 75:2918-2922, 1978.
- 94- Sullivan,K.A., Kagan,H.M.: Lysyl oxidase preparation and role in elastin biosynthesis. Methods Enzymol., Pt: A: 637-650, 1982.
- 95- Sykes,B.C., Partridge,S.M.: Salt soluble elastin from lathyritic chicks. Biochem.J., 141(2): 567-573, 1974.
- 96- Taselli,D., Salcedo,L.L., Oiver,P., Franzblau,C.: Formation of elastic fibers and elastin in rabbit aortic smooth muscle cell cultures. Connect.Tissue.Res., 8(3-4):231-239, 1981.
- 97- Thomas,J., Elsden,D.F., Partdrige,S.M.: Degradation products from elastin: Partial structure of two major degradation products from the cross-linkages in elastin. Nature, 200:651-652, 1963.
- 98- Urny,D.W., Long,M.M.: Conformations of the repeat peptides of elastin in solution: an application of proton and carbon-13 magnetic resonance to the determination oy polypeptide secondary structure. CRC. Crit. Rev. Biochem., 4(1):1-45, 1976.
- 99- Vitto,J., Haffman,H.D., Prockop,D.J.: Synthesis elastin and procollagen by cells from embryonic aorta. Differences in the role of hydroxyproline and the effects of proline analogs on the secretionof the two proteins. Arch.Biochem. Biophys., 173(1): 187-200, 1976.
- 100- White,A., Handler,P., Smith,E.L., Hill,R.L., Lehman,I.R.: Principles of Biochemistry. Altıncı basım, N.Graw.Hill. Inc. s:1143-1145, 1978.
- 101- Whiting,A.H., Sykes,B.E., Partridge,S.M.: Isolation of salt soluble elastin from ligamentum nuchae of copper -deficient calf. Biochem.J., 141(2):573-575, 1974.

- 102- Willams,S.K., Devenny,J.J., Bitensky,M.W.: Micropinocytic ingestion of glycosylated albumin by isolated microvessels: Possible role in pathogenesis of diabetic microangiopathy. Proc.Natl. Acad. Sci. 78:2393-2397, 1981.
- 103- Witztum,J.C., Maheney,E.M., Branks,M.J.: Nonenzymatic glucosylation of low density lipoprotein alters biologic activity. Diabetes, 31:283-291, 1982.
- 104- Witztum,J.L., Steinbrecher,U.P., Fisher,M., Kseaniemi,A.: Nonezymatic glucosylation of homologous low density lipoprotein and albumin renders them immunogenic in the guinea pig. Proc.Natl.Acad.Sci., 80:2757-2761, 1983.
- 105- Yoon,K., Davidson,J.M., Boyd,C., May,M., Luvalle,P., Ornstein,N., Smith,J., Indik,Z., Ross,A., Golub,E.: Analysis of the 3'region of the sheep elastin gene. Arch. Biochem. Biophys., 241(2): 684-691, 1985.
- 106- Yue,D.K., Mc Lennan,S., Delbridge,L., Handelsman,D.J., Reeve,T., Turtle,J.R.: The thermal stability of collagen in diabetic rats: Correlation with severity of diabetes and non-enzymatic glycosylation. Diabetologic, 24:282-285, 1982.

ÖZGEÇMİŞ

1959 yılında İskenderun'da doğdum. İlk, orta ve lise öğrenimimi İstanbul'da tamamlayarak, İstanbul Üniversitesi Fen Fakültesi'nde yüksek tıhsilime başladım. Buradan mezun olduktan sonra İstanbul Üniversitesi Cerrahpaşa Tıp Fakültesi Biyokimya Anabilim Dalında uzmanlık öğrencisi olarak görev aldım. 1986 yılında Biyokimya uzmanı oldum ve aynı yıl Doktora çalışmalarına başladım. 12.6.1989 tarihinde doktora yeterlilik sınavını verdim. İngilizce bilmekteyim.

V. G.
Yükseköğretim Kurulu
Dokümantasyon Merkez